



ใบรับรองวิทยานิพนธ์

บัณฑิตวิทยาลัย สถาบันเทคโนโลยีพระจอมเกล้าพระนครเหนือ

เรื่อง การวิเคราะห์ค่าความด้านท่านทางไฟฟ้าของน้ำมันหล่อลื่น
เพื่อติดตามสภาพน้ำมันหล่อลื่นที่ใช้แล้ว

โดย นายฉัตรชัย บูรณะจิตปกรณ์

ได้รับอนุมัติให้นับเป็นส่วนหนึ่งของการศึกษาตามหลักสูตร
วิศวกรรมศาสตรมหาบัณฑิต สาขาวิชาวิศวกรรมการผลิต

คณบดีบัณฑิตวิทยาลัย

(อาจารย์ ดร.มงคล หวังสติตย়วงศ์)

18 พฤษภาคม 2550

คณะกรรมการสอบวิทยานิพนธ์

(รองศาสตราจารย์ ดร.สุทธิพล ราชญ์อุทัย)

ประธานกรรมการ

(ผู้ช่วยศาสตราจารย์ศรรภุณิช คลีสุวรรณ)

กรรมการ

(อาจารย์สมศักดิ์ นรสิงห์)

กรรมการ

การวิเคราะห์ค่าความด้านพานทางไฟฟ้าของน้ำมันหล่อลื่น
เพื่อติดตามสภาพน้ำมันหล่อลื่นที่ใช้แล้ว

นายฉักรชัย บุรณะจิตปกรณ์

วิทยานิพนธ์นี้เป็นส่วนหนึ่งของการศึกษาตามหลักสูตร
วิศวกรรมศาสตรมหาบัณฑิต
สาขาวิชาวิศวกรรมการผลิต ภาควิชาวิศวกรรมการผลิต
บัณฑิตวิทยาลัย สถาบันเทคโนโลยีพระจอมเกล้าพระนครเหนือ
ปีการศึกษา 2549
ลิขสิทธิ์ของสถาบันเทคโนโลยีพระจอมเกล้าพระนครเหนือ

ชื่อ : นายฉัตรชัย บูรณະจิตปกรณ์
 ชื่อวิทยานิพนธ์ : การวิเคราะห์ค่าความด้านทางไฟฟ้าของน้ำมันหล่อลื่นเพื่อติดตาม
 สภาพน้ำมันหล่อลื่นที่ใช้แล้ว
 สาขาวิชา : วิศวกรรมการผลิต
 สถาบันเทคโนโลยีพระจอมเกล้าพระนครเหนือ
 ที่ปรึกษาวิทยานิพนธ์ : รองศาสตราจารย์ ดร.สุรพล ราชภูรนุช
 ผู้ช่วยศาสตราจารย์คราฤษ คลีสุวรรณ
 ปีการศึกษา : 2549

บทคัดย่อ

วิทยานิพนธ์นี้จัดทำขึ้นโดยมุ่งหวังที่จะตรวจสอบการเปลี่ยนแปลงพฤติกรรมทางไฟฟ้าของน้ำมันหล่อลื่นปัจจุบันเป็นปัจจัยสำคัญที่ทำให้เกิดการเสื่อมสภาพน้ำมันอย่างรวดเร็วของน้ำมันหล่อลื่น โดยวิทยานิพนธ์นี้ได้ทำการทดสอบหาความสัมพันธ์ของผลกระทบการเปลี่ยนค่าความจุไฟฟ้าและความด้านทางไฟฟ้าและมุมเฟสที่เปลี่ยนแปลงไป เนื่องจากการเจือปนของสิ่งสกปรกในน้ำมันหล่อลื่น คือ ผงคาร์บอน ผงโลหะ และน้ำ ซึ่งพบว่าผงคาร์บอนเป็นปัจจัยที่ส่งผลให้เกิดการเปลี่ยนทั้ง ค่าความจุไฟฟ้า ค่าความด้านทางไฟฟ้า และมุมเฟสที่เปลี่ยนแปลงไปอย่างชัดเจนเมื่อน้ำมันมีการปนเปื้อนผงคาร์บอนได้ดังเดต 0.1% ผงเหล็กจะส่งผลกระทบการเปลี่ยนแปลงในแง่ของการเรียงตัวของอนุภาคในสนามไฟฟ้า ส่วนน้ำส่งผลกระทบเปลี่ยนแปลงในค่าความด้านทางไฟฟ้าของน้ำมันหล่อลื่นซึ่งพบความเปลี่ยนแปลงที่ของค่าความด้านทางไฟฟ้าอย่างชัดเจนเมื่อน้ำมันถูกปนเปื้อนด้วยน้ำมากกว่า 500 ส่วนในล้านส่วน

(วิทยานิพนธ์มีจำนวนทั้งสิ้น 51 หน้า)

คำสำคัญ : สิ่งสกปรก, น้ำมันหล่อลื่น, พฤติกรรมทางไฟฟ้า

กานต์ ภูรบกุล อาจารย์ที่ปรึกษาวิทยานิพนธ์

Name : Mr.Chatchai Buranajitpakorn
Thesis Title : Electrical Resistivity Analysis as Used Oil Contamination Monitoring Tool
Major Field : Production Engineering
King Mongkut's Institute of Technology North Bangkok
Thesis Advisors : Associate Professor Dr.Surapol Raadnui
Assistant Professor Srawut Kleesuwan
Academic Year : 2006

Abstract

This research was proposed to detect the changing of electrical behaviors in contaminated lubricant that effect to deteriorate of lubricant. The experiments were tested to determine the relation between capacitance, resistance and phase shift versus carbon contaminant, metal contaminant and water contaminant. The results showed that carbon contaminant was affected to the change of capacitance resistance and phase shift which can detect the carbon contamination over 0.1% by weight, metal was affected to particle arrangement in electrical field and water was affected to electrical resistance with water content over 500 ppm.

(Total 51 pages)

Keywords : Contaminant, Lubricant, Electrical behaviors

Surapol Raadnui

Advisor

กิตติกรรมประกาศ

วิทยานิพนธ์ฉบับนี้สำเร็จลุล่วงไปได้ด้วยดี โดยได้รับความอนุเคราะห์เป็นอย่างสูงจาก รองศาสตราจารย์ ดร.สุรพล ราชภานุย และผู้ช่วยศาสตราจารย์ คราวุฒิ คลีสุวรรณ์ที่ได้กรุณาให้ความช่วยเหลือ คำปรึกษา คำแนะนำ และแก้ไขข้อบกพร่องต่างๆของวิทยานิพนธ์ฉบับนี้มาโดยตลอด ขอขอบพระคุณ ห้องปฏิบัติการไฟฟ้าแรงสูง ห้องปฏิบัติการไฟฟ้ากำลัง ภาควิชา วิศวกรรมไฟฟ้า และโรงปฏิบัติการภาควิชาเทคโนโลยีการผลิต สถาบันเทคโนโลยีพระจอมเกล้า พระนครเหนือ ที่ให้ความอนุเคราะห์เครื่องมือ อุปกรณ์ต่างๆที่ใช้ในการวิจัย ภาควิชาวิศวกรรม การผลิต สถาบันเทคโนโลยีพระจอมเกล้าพระนครเหนือ ที่ช่วยอำนวยความสะดวกในการทำวิทยานิพนธ์ฉบับนี้ ขอขอบคุณ คุณครู อาจารย์ทุกๆท่าน ที่ประสิทธิ์ประสาทวิชาความรู้ในแขนงต่างๆ จนกระทึ่งทำให้มีความรู้ ความเข้าใจในการวางแผนแนวทางและดำเนินงานวิจัย พี่ๆ เพื่อนๆ และน้องๆ ทุกคนที่ให้กำลังใจคำปรึกษา ช่วยให้งานวิจัยสามารถดำเนินงานไปได้เป็นอย่างดี และขอขอบคุณผู้ให้ความช่วยเหลือวิจัย ขอขอบพระคุณท่านที่ได้กล่าวนามทั้งหมดไว้ ณ ที่นี่เป็นอย่างยิ่ง การวิจัยนี้ได้รับทุนอุดหนุนบางส่วนจากทุนอุดหนุนการวิจัยเพื่อทำวิทยานิพนธ์สำหรับนักศึกษาระดับบัณฑิตศึกษา บัณฑิตวิทยาลัย สถาบันเทคโนโลยีพระจอมเกล้าพระนครเหนือ

สุดท้ายนี้ประอยช์และคุณค่าได้ ของวิทยานิพนธ์ฉบับนี้ ผู้วิจัยขอขอบแต่ már ดาผู้ล่วงลับ บิดาที่มอบโอกาสในการศึกษา ที่ปรึกษาวิทยานิพนธ์ คุณครู และอาจารย์ทุกท่านที่ประสิทธิ์ประสาทวิชาความรู้ และมอบโอกาสแก่ผู้จัดทำ

ฉัตรชัย บูรณะจิตปกรณ์

สารบัญ

	หน้า
บทคัดย่อภาษาไทย	๙
บทคัดย่อภาษาอังกฤษ	๑๐
กิตติกรรมประกาศ	๑๕
สารบัญตาราง	๗๖
สารบัญภาพ	๗๗
บทที่ ๑ บทนำ	๑
1.๑ ความเป็นมาและความสำคัญของปัญหา	๑
1.๒ วัตถุประสงค์	๑
1.๓ ขอบเขตการวิจัย	๑
1.๔ วิธีการวิจัย	๒
1.๕ ประโยชน์ของการวิจัย	๓
บทที่ ๒ บทความวิจัยที่เกี่ยวข้องและทฤษฎี	๔
2.๑ บทความวิจัยที่เกี่ยวข้อง	๔
2.๒ สารหล่อลื่น	๖
2.๓ หน้าที่ของสารหล่อลื่น	๘
2.๔ หน้าที่ของสารปูรงแต่ง	๑๐
2.๕ สิ่งสกปรกในสารหล่อลื่น	๑๓
2.๖ ไดอิเลคตริกเหลว	๑๘
2.๗ อิเลคโทรดชนิด ๓ อิเลคโตรด	๒๐
บทที่ ๓ อุปกรณ์และวิธีการวิจัย	๒๒
3.๑ ขั้นตอนในการวิจัย	๒๓
บทที่ ๔ ผลการทดสอบ	๒๘
4.๑ ผลของสิ่งสกปรกที่มีต่อค่าความฉุไฟฟ้าของน้ำมันหล่อลื่น	๒๙
4.๒ ผลของสิ่งสกปรกที่มีต่อค่าความต้านทานทางไฟฟ้าของน้ำมันหล่อลื่น	๓๑
4.๓ ผลของสิ่งสกปรกที่มีต่อปริมาณกระแสไฟฟ้าที่วัดได้ของน้ำมันหล่อลื่นที่ปนเปื้อนด้วยสิ่งสกปรกในระดับต่างๆ เมื่อจ่ายแรงดันไฟฟ้ากระแสตรงขนาด ๒ กิโลโวลต์	๓๔
4.๔ ผลของสิ่งสกปรกที่มีต่อความสัมพันธ์ของแรงดันไฟฟ้ากระแสสลับและปริมาณกระแสไฟฟ้าที่วัดได้	๓๔
4.๕ ผลของสิ่งสกปรกที่มีต่อค่ามุ่งเฟสที่เปลี่ยนแปลงไป	๓๖

สารบัญ (ต่อ)

	หน้า
4.6 ผลของสิ่งสกปรกที่มีต่อแรงดันเบรกรถाव์	37
บทที่ 5 สรุปผลการทดลองและเสนอแนะ	40
5.1 สรุปผลการทดลอง	40
5.2 ข้อเสนอแนะ	41
บรรณานุกรม	42
ภาคผนวก ก ภาพของมุมไฟที่เปลี่ยนแปลงที่แสดงบนอสซิลโลสโคป	43
ภาคผนวก ข แบบของอิเลคโทรดชนิด 3 อิเลคโทรดที่จัดสร้าง	46
ประวัติผู้วิจัย	51

สารบัญตาราง

ตารางที่	หน้า
4-1 ค่าเฉลี่ยและค่าเบี่ยงเบนมาตรฐานของผลการทดสอบหาค่าความจุไฟฟ้าของน้ำมันที่ปั้นเป็นปืนด้วยผงคาร์บอนขนาดเล็กกว่า 63 ไมครอน	28
4-2 ค่าเฉลี่ยและค่าเบี่ยงเบนมาตรฐานของผลการทดสอบหาค่าความจุไฟฟ้าของน้ำมันที่ปั้นเป็นปืนด้วยโลหะขนาดเล็กกว่า 63 ไมครอน	29
4-3 ค่าเฉลี่ยและค่าเบี่ยงเบนมาตรฐานของผลการทดสอบหาค่าความจุไฟฟ้าของน้ำมันที่ปั้นเป็นปืนด้วยน้ำ	30
4-4 ค่าเฉลี่ยและค่าเบี่ยงเบนมาตรฐานของผลการทดสอบหาค่าความต้านทานทางไฟฟ้าของน้ำมันที่ปั้นเป็นปืนด้วยผงคาร์บอนขนาดเล็กกว่า 63 ไมครอน	32
4-5 ค่าเฉลี่ยและค่าเบี่ยงเบนมาตรฐานของผลการทดสอบหาค่าความต้านทานทางไฟฟ้าของน้ำมันที่ปั้นเป็นปืนด้วยน้ำ	33
4-6 ค่าเฉลี่ยและค่าเบี่ยงเบนมาตรฐานของผลการทดสอบหาความสัมพันธ์ของแรงดันไฟฟ้ากระแสสลับและปริมาณกระแสไฟฟ้าที่วัดได้ของน้ำมันหล่อลื่นที่ปั้นเป็นปืนด้วยผงคาร์บอนขนาดเล็กกว่า 63 ไมครอนที่เปอร์เซ็นต์การปนเปื้อนต่างๆ	34
4-7 ค่าเฉลี่ยและค่าเบี่ยงเบนมาตรฐานของผลของการทดสอบหามุมเฟสที่เปลี่ยนแปลงไปของน้ำมันที่ปั้นเป็นปืนด้วยผงคาร์บอนขนาดเล็กกว่า 63 ไมครอนที่เปอร์เซ็นต์การปนเปื้อนต่างๆ	36
4-8 ค่าเฉลี่ยและค่าเบี่ยงเบนมาตรฐานของผลการทดสอบหาแรงดันเบรคดาวน์ของน้ำมันที่ปั้นเป็นปืนด้วยผงคาร์บอนขนาดเล็กกว่า 63 ไมครอนที่เปอร์เซ็นต์การปนเปื้อนต่างๆ	37
4-9 ค่าเฉลี่ยและค่าเบี่ยงเบนมาตรฐานของผลการทดสอบหาแรงดันเบรคดาวน์ของน้ำมันที่ปั้นเป็นปืนด้วยน้ำที่เปอร์เซ็นต์การปนเปื้อนต่างๆ	38

สารบัญภาพ

ภาพที่	หน้า
2-1 เปรียบเทียบคุณสมบัติทั่ว ๆ ไปของแพพารานิด พาราฟินิกและอะโรเมติก	7
2-2 การทำงานของสารยับยั้งการเกิดสนิม	11
2-3 กลไกการทำงานของสารกระเจรษเข้ม่า	11
2-4 กลไกการทำงานของสารปูรุ่งแต่งกลิ่น AW และ EP	12
2-5 ลักษณะการปนเปื้อนของน้ำในน้ำมันหล่อลื่น	15
2-6 เข้ม่าที่เกิดขึ้นภายใต้ระบบการสัมดาปภายใต้	17
2-7 อิเลคโทรดที่มีสนามไฟฟ้าแบบสม่ำเสมอ	19
2-8 อิเลคโทรดชนิด 3 อิเลคโทรด	21
3-1 วงจรแสดงลักษณะการเกิดกระแสไฟฟ้า 2 ชนิด	22
3-2 อุปกรณ์ในการทดสอบ(test cell) ที่ใช้ในการทดลอง	23
3-3 เครื่องร่อนแยกขนาด (sieve test machine)	24
3-4 ผงคาร์บอนและ ผงโลหะขนาดเล็กกว่า 63 ไมครอนที่เตรียมสำหรับทดลอง	24
3-5 การเตรียมน้ำมันก่อนการทดสอบ	24
3-6 การวัดค่าความเป็นประจุไฟฟ้าด้วย RCL meter (Fluke PM6304)	25
3-7 a) เมกะโอมมิเตอร์ที่ใช้ (b) การวัดค่าความด้านทานทางไฟฟ้า	25
3-8 การทดสอบหาค่าปริมาณกระแสไฟฟ้าซึ่งเกิดจากการเคลื่อนที่ของประจุไฟฟ้า	26
3-9 การทดสอบหาค่ามุ่งเพสที่เปลี่ยนแปลงไปด้วยออสซิลโลสโคป	26
3-10 ตัวอย่างการวัดค่ามุ่งเพสที่เปลี่ยนแปลงไปบนออสซิลโลสโคป	27
3-11 การทดสอบหาค่าแรงดันเบรคดาวน์	27
4-1 ค่าเฉลี่ยและส่วนเบี่ยงเบนมาตรฐานของผลการทดสอบของค่าความชุกไฟฟ้าของน้ำมันที่ปนเปื้อนด้วยผงคาร์บอนขนาดเล็กกว่า 63 ไมครอนที่มีเปอร์เซ็นต์การเจือปนต่างๆ	29
4-2 ค่าเฉลี่ยและส่วนเบี่ยงเบนมาตรฐานของผลการทดสอบของค่าความชุกไฟฟ้าของน้ำมันที่ปนเปื้อนด้วยผงโลหะขนาดเล็กกว่า 63 ไมครอนที่มีเปอร์เซ็นต์การเจือปนต่างๆ	30
4-3 ค่าเฉลี่ยและส่วนเบี่ยงเบนมาตรฐานของผลการทดสอบของค่าความชุกไฟฟ้าของน้ำมันที่ปนเปื้อนด้วยน้ำที่มีเปอร์เซ็นต์การเจือปนต่างๆ	31

สารบัญภาพ (ต่อ)

ภาพที่	หน้า
4-4 ค่าเฉลี่ยและส่วนเบี่ยงเบนมาตรฐานของผลการทดสอบของค่าความต้านทาน ทางไฟฟ้าของน้ำมันที่ป่นเปื้อนด้วยผงคาร์บอนขนาดเล็กกว่า 63 ไมครอนที่มีเปอร์เซ็นต์การเจือปนต่างๆ	32
4-5 ค่าเฉลี่ยและส่วนเบี่ยงเบนมาตรฐานของผลการทดสอบของค่าความต้านทานทางไฟฟ้าของน้ำมันหล่อลื่นที่ป่นเปื้อนด้วยน้ำที่มีเปอร์เซ็นต์การเจือปนต่างๆ	33
4-6 ผลของผงคาร์บอนขนาดเล็กกว่า 63 ไมครอนที่มีต่อความสัมพันธ์ของแรงดันไฟฟ้ากระแสสลับและปริมาณกระแสไฟฟ้าที่วัดได้	35
4-7 การเรียงตัวกันของผงโลหะระหว่างอิเลคโทรด	36
4-8 ผลของผงคาร์บอนขนาดเล็กกว่า 63 ไมครอนที่มีต่อค่ามุ่งเฟสที่เปลี่ยนไป	37
4-9 ค่าเฉลี่ยและส่วนเบี่ยงเบนมาตรฐานของผลการทดสอบหาค่าแรงดันเบรคดาวน์ของน้ำมันหล่อลื่นที่ป่นเปื้อนด้วยผงคาร์บอนขนาดเล็กกว่า 63 ไมครอนที่มีเปอร์เซ็นต์การเจือปนต่างๆ	38
4-10 ค่าเฉลี่ยและส่วนเบี่ยงเบนมาตรฐานของผลการทดสอบของแรงดันเบรคดาวน์ของน้ำมันหล่อลื่นที่ป่นเปื้อนด้วยน้ำที่มีเปอร์เซ็นต์การเจือปนต่างๆ	39
ก-1 ภาพของมุ่งเฟสที่เปลี่ยนแปลงไปที่แสดงบนอสซิลโลสโคปของน้ำมันใหม่	44
ก-2 ภาพของมุ่งเฟสที่เปลี่ยนแปลงไปที่แสดงบนอสซิลโลสโคปของน้ำมันป่นเปื้อนด้วยผงคาร์บอนขนาดเล็กกว่า 63 ไมครอน ด้วยอัตราส่วน 0.1 เปอร์เซ็นต์โดยน้ำหนัก	45
ข-1 แบบในการจัดสร้างของอิเลคโทรดแรงสูง	47
ข-2 แบบในการจัดสร้างของอิเลคโทรดวัด	48
ข-3 แบบในการจัดสร้างของวงแหวนการด	49
ข-4 แบบในการจัดสร้างของฉนวนกัน	50

บทที่ 1 บทนำ

1.1 ความเป็นมาและความสำคัญของปัจจุบัน

ในทุกชิ้นส่วนเครื่องจักรกลที่มีการเคลื่อนไหว จำเป็นจะต้องมีการหล่อลีนเพื่อลดแรงเสียดทานและการสึกหรอซึ่งน้ำมันหล่อลีนนอกจากจะมีคุณสมบัติหลักดังกล่าวแล้ว ยังจำเป็นต้องมีคุณสมบัติอย่างอื่นเพิ่มเติมอีกด้วย อาทิ การระบายความร้อน ป้องกันการเกิดสนิม ส่งถ่ายกำลังชະลังสิงสกปรก ฯลฯ เพื่อที่จะช่วยให้เครื่องจักรกล/เครื่องยนต์สามารถทำงานได้อย่างมีประสิทธิภาพสูงสุด อย่างไรก็ตามน้ำมันหล่อลีนที่มีการเสื่อมสภาพ โดยน้ำมันหล่อลีนที่ใช้อยู่อาจเกิดการเสื่อมสภาพได้ทั้งทางเคมีและกายภาพจากการใช้งานปกติ หรืออาจถูกเร่งให้เสื่อมสภาพจากการปนเปื้อนของสิ่งสกปรก อาทิ ผุนละอองจากภายนอก น้ำ ความชื้น เศษโลหะ อากาศ ฯลฯ ซึ่งจะส่งผลให้คุณสมบัติต่างๆ ของน้ำมันหล่อลีนลดลง ทำให้ไม่สามารถทำการหล่อลีนได้อย่างเต็มประสิทธิภาพส่งผลให้มีแรงเสียดทานสูงขึ้น อัตราการสึกหรอสูงขึ้น สิ้นเปลืองพลังงานและเกิดการเสื่อมสมรรถนะหรือการชำรุดของเครื่องจักรกล/เครื่องยนต์ในท้ายที่สุด ดังนั้นโครงการวิทยานิพนธ์นี้จึงมุ่งที่จะศึกษาถึงผลของการเสื่อมสภาพจากการปนเปื้อนของสิ่งสกปรกชนิดต่างๆ ในน้ำมันหล่อลีนที่มีต่อค่าความด้านทานทางไฟฟ้าของน้ำมันหล่อลีน ซึ่งโดยปกติมีสภาพเป็นอนุนวไฟฟ้า โดยมุ่งหวังว่าจะสามารถจำแนกถึงผลของการทดสอบค่าความด้านทานทางไฟฟ้าที่เกิดจากสารปนเปื้อนด่างชนิดกัน ทำให้สามารถทราบถึงรากของสาเหตุของการเสื่อมสภาพและสามารถทำการแก้ไขได้อย่างถูกต้องในลำดับถัดไป

1.2 วัตถุประสงค์

- 1.2.1 เพื่อศึกษาความสัมพันธ์ระหว่างค่าความด้านทานทางไฟฟ้าของน้ำมันหล่อลีนและชนิดของสิ่งสกปรกที่ปนเปื้อน คือ ผงคาร์บอน (Carbon black) น้ำ และเศษโลหะ
- 1.2.2 เพื่อเป็นทางเลือกใหม่ในการบำรุงรักษาน้ำมันหล่อลีนแบบฝ่าระวัง

1.3 ขอบเขตการวิจัย

- 1.3.1 สร้างอุปกรณ์ในวัดค่าความด้านทานทางไฟฟ้า ชนิด 3 อิเลคโทรด (3 Electrodes test cell) ซึ่งมีปริมาตร 300 ซี.ซี.โดยประมาณ และสามารถทดสอบน้ำมันหล่อลีนให้เข้ากันได้
- 1.3.2 ทำการศึกษาน้ำมันหล่อลีน โดยปัจจัยที่ศึกษาประกอบด้วย

1.3.2.1 ศึกษาความสัมพันธ์ระหว่างค่าความด้านทางไฟฟ้าของน้ำมันหล่อลื่นใหม่ และน้ำมันหล่อลื่นใหม่ที่มีเศษโลหะขนาดเล็กกว่า 63 ไมครอนเจือปน 3 ระดับ คือ 0.1 กรัม, 0.2 กรัม และ 0.3 กรัม ต่อน้ำมันหล่อลื่น 300 ซี.ซี.

1.3.2.2 ศึกษาความสัมพันธ์ระหว่างค่าความด้านทางไฟฟ้าของน้ำมันหล่อลื่นใหม่ และน้ำมันหล่อลื่นใหม่ที่มีผงคาร์บอน (Carbon black) ขนาดเล็กกว่า 63 ไมครอน เจือปน 3 ระดับ คือ 0.1 กรัม, 0.2 กรัม, 0.3 กรัม และ 0.4 กรัม ต่อน้ำมันหล่อลื่น 500 ซี.ซี.

1.3.2.3 ศึกษาความสัมพันธ์ระหว่างค่าความด้านทางไฟฟ้าของน้ำมันหล่อลื่นใหม่ และน้ำมันหล่อลื่นใหม่ที่มีน้ำเจือปน 3 ระดับ คือ 0.1 กรัม, 0.2 กรัม และ 0.3 กรัม ต่อน้ำมันหล่อลื่น 500 ซี.ซี.

1.4 วิธีการวิจัย

1.4.1 ออกรูปแบบและสร้างอุปกรณ์ต้นแบบในการทดสอบวัดค่าความด้านทางไฟฟ้า ชนิด 3 อิเลคโทรด (3 Electrodes test cell) ซึ่งมีปริมาตร 300 ซี.ซี. และสามารถทดสอบน้ำมันหล่อลื่นให้เข้ากันได้

1.4.2 เครื่องผงคาร์บอน (Carbon black) และผงโลหะขนาดเล็กกว่า 63 ไมครอน ด้วยเครื่องร่อนแยกขนาด (Sieve test machine)

1.4.3 ทำการทดสอบหาค่าความจุไฟฟ้า (Capacitance) ของน้ำมันหล่อลื่นที่ปนเปื้อนด้วยสิ่งสกปรกในระดับต่างๆ ด้วยเครื่องวัดค่าความจุไฟฟ้า (RCL Meter)

1.4.4 ทำการทดสอบหาค่าความด้านทางไฟฟ้าของน้ำมันหล่อลื่นที่ปนเปื้อนด้วยสิ่งสกปรกในระดับต่างๆ ด้วยเมกกะโอมมิเตอร์

1.4.5 ทำการทดสอบหาค่าปริมาณกระแสไฟฟ้าที่วัดได้ของน้ำมันหล่อลื่นที่ปนเปื้อนด้วยสิ่งสกปรกในระดับต่างๆ เมื่อจ่ายแรงดันไฟฟ้ากระแสสลับขนาด 2 กิโลโวลต์

1.4.6 ทำการทดสอบหาค่าปริมาณกระแสไฟฟ้าที่วัดได้ของน้ำมันหล่อลื่นที่ปนเปื้อนด้วยสิ่งสกปรกในระดับต่างๆ เมื่อจ่ายแรงดันไฟฟ้ากระแสสลับขนาด 0.25, 0.5, 0.75, 1.00, 1.25, 1.5, 1.75 และ 2 กิโลโวลต์ตามลำดับ

1.4.7 ทำการทดสอบหาค่ามุมเฟสที่เปลี่ยนไป(Phase shift) ของน้ำมันหล่อลื่นที่ปนเปื้อนด้วยสิ่งสกปรกในระดับต่างๆ ด้วยอสซิลโลสโคป (Oscilloscope) โดยทำการวัดที่แรงดันไฟฟ้ากระแสสลับขนาด 2 กิโลโวลต์

1.4.8 ทำการทดสอบหาค่าแรงดันเบรกดาวน์ (Breakdown voltage) ของน้ำมันหล่อลื่นที่ปนเปื้อนด้วยสิ่งสกปรกในระดับต่างๆ

1.5 ประโยชน์ของการวิจัย

- 1.5.1 ผลจากการศึกษาทำให้ทราบความสัมพันธ์ของชนิดสารปนเปื้อนของน้ำมันหล่อลื่นกับพฤติกรรมทางไฟฟ้า
- 1.5.2 ผลจากการศึกษามาตรถ่านนำไปออกแบบวิธีการติดตามสภาพ สำหรับการปนเปื้อนของสารปนเปื้อนชนิดต่างๆ
- 1.5.3 เป็นแนวทางใหม่ในการบำรุงรักษาน้ำมันหล่อลื่นแบบเฝ้าระวัง

บทที่ 2

บทความวิจัยที่เกี่ยวข้องและทฤษฎี

2.1 บทความวิจัยที่เกี่ยวข้อง

Wang และ Lin (2003) ได้ทำการศึกษาเรื่อง “A new technique for detecting antifreeze in engine oil during early stage of leakage” ซึ่งเป็นการหาค่าความต้านทานทางไฟฟ้าของน้ำมันหล่อลื่นเครื่องยนต์ด้วยเทคนิคการวัดแบบ AC impedance measurement technique โดยทำการสร้างอุปกรณ์วัดค่าความต้านทานทางไฟฟ้า ซึ่งมีลักษณะเป็นอิเลคโทรด ซึ่งเคลือบผิวด้วยแพลทินัม โดยมีระยะห่างระหว่างอิเลคโทรด 1 ม.ม. และติดตั้งที่ก้นอ่างน้ำมันเครื่องเพื่อทดสอบหากการปนเปื้อนจาก การรั่วซึมของสารต้านการแข็งตัวของน้ำมันหล่อลื่น ซึ่งมีสถานะแยกตัวออกจากน้ำมันและนอนกันอยู่เนื่องจากความหนาแน่นที่มากกว่าน้ำมัน แล้วทำการวัดค่ากระแสไฟฟ้าที่ได้เมื่อจ่ายแรงดันไฟฟ้ากระแสสลับเข้าไปและคำนวณหาค่าความต้านทานของน้ำมันออกมาน โดยได้ทำการทดสอบกับน้ำมัน เกรด 5W-30 ของน้ำมันฐานแร่และน้ำมันฐานสังเคราะห์ และทดสอบทั้งน้ำมันใหม่และน้ำมันใช้แล้วที่ 10,500 และ 30,000 ไมล์ จากการทดสอบเบื้องต้นทำให้ทราบว่าที่อุณหภูมิ 80 องศาเซลเซียส น้ำมันฐานสังเคราะห์มีค่าความต้านทานเพียง 20 % ของน้ำมันฐานแร่ และจากผลการศึกษาพบว่า เช่นเชอร์สามารถจับความเปลี่ยนแปลงได้ที่ความเข้มข้น 0.5 % สำหรับน้ำมันใช้แล้ว และ 0.25 % สำหรับน้ำมันใหม่ โดยที่อุณหภูมิ 50 องศาเซลเซียส เทคนิคในการวัดนี้จะมีความไวมากต่อการเปลี่ยนแปลงของค่าความต้านทาน อันเป็นผลมาจากการปนเปื้อนของสารต้านการแข็งตัวในน้ำมันฐานสังเคราะห์มากกว่า น้ำมันฐานสังเคราะห์ และที่ 35 องศาเซลเซียสจะไวกับน้ำมันฐานสังเคราะห์มากกว่าน้ำมันฐานแร่

Nicholson, Lin, Oberdier และ Heremans (2005) ร่วมกันทำการวิจัยและจดสิทธิบัตรเรื่อง “Method for measuring high frequency resistance in diesel engine lubricant oil” ซึ่งเป็นการตรวจเชิงม้าที่ปนเปื้อนอยู่ในน้ำมันหล่อลื่นเครื่องยนต์ด้วยวิธีการวัดค่าความต้านทานทางไฟฟ้าของน้ำมันโดยการจ่ายไฟฟ้ากระแสสลับที่มีความถี่สูง(มากกว่า 2 เมกะเฮิรดซ์) ซึ่งค่าความต้านทาน และค่าความจุไฟฟ้าของน้ำมันจะเปลี่ยนแปลงไปตามสภาพการใช้งานของน้ำมัน ได้ทำการทดสอบโดยใช้เชนเชอร์ที่มีรูปแบบเป็นด้าวเก็บประจุไฟฟ้าแซ่ในน้ำมัน และทำการวัดค่าปริมาณกระแสไฟฟ้าสูงสุด ซึ่งเกิดจากการแทรกสอดคลื่นไฟฟ้าที่มีคลื่น

ความถี่ต่างกัน แล้วนำค่าปริมาณกระแสไฟฟ้าและค่าแรงดันที่วัดได้ มาคำนวณหาค่าความต้านทานของน้ำมัน

Meregerle (1992) ได้ทำการจดสิทธิบัตรเรื่อง "Oil quality monitor sensor and system" ซึ่งเป็นการใช้ electrochemical cell ที่มีลักษณะเป็นอิเลคโทรดทรงกระบอกกลวง 2 วงซ้อนร่วมกันอยู่ติดตั้งไว้ที่ก้นอ่างน้ำมันเครื่อง และใช้วัดคุณสมบัติความนำไฟฟ้ากระแสสลับของน้ำมันหล่อลื่นเครื่องยนต์ โดยจ่ายแรงดันไฟฟ้ากระแสสลับที่มีความถี่ระหว่าง 100 – 1000 เ亥ร์تز และวัดค่าความต่างศักย์ไฟฟ้าระหว่างอิเลคโทรดภายในช่วงเวลาที่กำหนด แล้วนำค่าที่ได้มาคำนวณหาค่าคุณสมบัติความนำไฟฟ้าของน้ำมันหล่อลื่นเครื่องยนต์ ซึ่งสามารถแยกแยะระดับการปนเปื้อนของน้ำและกรดซูแลพิวริกได้

Koehler, Hirthe และ Seitz (2005) ร่วมกันทำวิจัยและจดสิทธิบัตรเรื่อง "Detecting soot during real time operation in diesel engine lubricant" โดยการใช้หัวโพรงในลักษณะของ อิเลคโทรดที่มีช่องห่างกันจุ่มแซอยู่ในน้ำมันหล่อลื่น และทำการวัดค่าปริมาณกระแสไฟฟ้าและ มุมเฟส (phase angle) ที่ได้จากการจ่ายไฟฟ้ากระแสสลับแรงดันต่ำที่มีความถี่อยู่ในช่วง 1- 10,000 เฮิรตซ์ไปที่อิเลคโทรดต้านหนึ่ง แล้วนำค่าปริมาณกระแสไฟฟ้าที่ได้มาคำนวณหา reactive (Z'') และ resistive impedances (Z') จากนั้นนำค่า reactive impedances ที่เป็น รูปแบบความสัมพันธ์กับ resistive impedances มาพลอตค่าลงใน Nyquist plot เพื่อหาค่ามุม กด (angle of depression, θ) ซึ่งมีความสัมพันธ์กับปริมาณเชม่าเจือปนในน้ำมันหล่อลื่น โดย วิธีการนี้สามารถตรวจพบปริมาณเชม่าเจือปนได้ในช่วง 0 - 9.6%

Clague, Donnet, Wang และ Peng (1999) ได้ร่วมกันทำการวิจัยเรื่อง "A comparison of diesel engine soot with carbon black" ซึ่งเป็นการเปรียบเทียบคุณสมบัติทางเคมี และลักษณะรูปทรงของเขม่าที่เกิดขึ้นภายในเครื่องยนต์ดีเซลโดยปนเปื้อนอยู่ในน้ำมันหล่อลื่น เขม่าที่เกิดจากการเผาไหม้ซึ่งจะถูกส่งออกไปสู่ภายนอกระบบทางท่อไอเสีย และผงคาร์บอนทางการค้า โดยผลการวิจัยพบว่าเขม่าทั้งสองประเภทแตกต่างกันในเรื่องของ พื้นผิวทางเคมี (surface chemistry) และ การคุณภาพขององค์ประกอบของสารหล่อลื่นในเขม่าที่เกิดขึ้นภายในเครื่องยนต์ ส่วนผงคาร์บอนทางการค้ามีความแตกต่างจากเขม่าในด้านองค์ประกอบทางเคมี และพื้นผิวทางเคมี (surface chemistry) ในด้านของลักษณะรูปทรงนั้น เขม่าทั้ง2ชนิดและผงคาร์บอนทางการค้ามีลักษณะที่ใกล้เคียงกันมาก โดยเฉพาะในช่วงที่เริ่มมีการรวมตัวกันในขนาดเล็ก เมื่อทำการทดสอบดูความแตกต่างของกระบวนการการเกิดของเขม่าและผงคาร์บอนในสภาวะที่มีการทำให้เย็นตัวลงต่างกัน(quenching and post quenching) พบว่าสามารถใช้ผงคาร์บอนในการจำลองพฤติกรรมการรวมตัวกันของเขม่าภายในน้ำมันหล่อลื่นที่ใช้แล้วได้

2.2 สารหล่อลื่น

สารหล่อลื่นในห้องต่อติดมีความแตกต่างกันอย่างหลักหลาย ภาพที่ 2-1 แสดงถึงวิธีการทดสอบที่มักนิยมใช้เพื่อระบุคุณสมบัติของฐานน้ำมันหล่อลื่น คุณสมบัติของสารหล่อลื่นมักจะสามารถบ่งบอกได้ถึงสมรรถนะในการใช้งานของน้ำมันหล่อลื่นหรือสารbase oil นั้นๆ ฐานน้ำมันที่มักนิยมใช้กันคือ น้ำมันแร่ (Mineral Base Oil) นั้นคือหมายถึงว่าเป็นผลิตภัณฑ์ที่ได้มาจากการกลั่นน้ำมันดิบ โดยที่การกลั่นน้ำมันดิบอาจจะมีหลากหลายวิธี เช่น การกลั่นลำดับส่วน การทำไฮโดรแคลลิก เป็นต้น โดยทั่วไปการกลั่นมักจะเริ่มต้นด้วยการกลั่นลำดับส่วน ซึ่งใช้หลักการของการคัดแยกโมเลกุลของไฮโดรคาร์บอนของน้ำมันดิบแบ่งตามขนาดและชนิดโดยการเปลี่ยนค่าของอุณหภูมิและความดัน หลังจากนั้นจะมีกระบวนการการกลั่น ซึ่งอาจจะเป็นวิธีการอย่างใดอย่างหนึ่งต่อไปนี้

2.2.1 การแยกโดยสารทำละลาย

น้ำมันที่ผ่านการกลั่นจะถูกทดสอบด้วยสารละลายซึ่งจะทำให้โมเลกุลในกลุ่มของอะโรเมติกไฮโดรคาร์บอนที่ไม่ต้องการจะถูกขัดออกไปด้วยการละลายตัวเข้ากับสารละลายที่ผสมลงไปนั้นเอง

2.2.2 กระบวนการไฮโดรแคลลิก

แบ่งเป็นสองลักษณะคือประเภทไฮโดรแคลลิกปกติโดยใช้อุณหภูมิและความดันในกระบวนการต่อ กระบวนการดังกล่าวจะช่วยในการขัดชาดุกามะถัน สารประกอบของในไฮโดรเจนและออกซิเจน แต่จะไม่มีผลกระทบใดๆต่อไฮโดรคาร์บอนกลุ่มอะโรเมติก สำหรับในประเภทการทำไฮโดรแคลลิกขั้นสูงจะดำเนินการที่ระดับความดันและอุณหภูมิที่สูงมาก ซึ่งจะมีผลทำให้โมเลกุลของไฮโดรคาร์บอนในกลุ่ม ของอะโรเมติกอิ่มตัวเปลี่ยนโครงสร้างไปเป็นแนวพานิคที่มีเสถียรภาพมากขึ้น และยังสามารถขัดสารประกอบเชิงขั้วออกไประดับด้วย

2.2.3 การกลั่นโดยการใช้กรด

สารประกอบที่เป็นองค์ประกอบแบบไม่อิ่มตัวจะถูกขัดออกไปโดยการใช้กรดซัลฟูริก ซึ่งทำให้เกิดการตกรตะกอนของสิ่งที่ไม่พึงประสงค์ หลังจากการขัดตะกอนออก จะมีการทำให้น้ำมันหล่อลื่นที่ผ่านกรรมวิธีนี้เป็นกลาง

2.2.4 การใช้สารละลายและการเร่งในการจัดไข

หลังจากการกลั่นจะดำเนินการจัดไขออกจากไฮโดรคาร์บอนในกลุ่มของพาราฟินออกโดยการใช้สารละลาย ซึ่งใช้หลักการของการเปลี่ยนโครงสร้างให้มีแขนงของพันธะไฮโดรคาร์บอนที่สั้นลงโดยการใช้ตัวเร่งปฏิกิริยาชนิดพิเศษ

น้ำมันหล่อลื่นฐานน้ำมันแร่จะประกอบไปด้วยโมเลกุลของไฮโดรคาร์บอนที่หลากหลายเป็นล้านๆ ชนิด ซึ่งโดยทั่วไปแล้วน้ำมันฐานน้ำมันแร่มักจะเป็นองค์ประกอบของไฮโดรคาร์บอนชนิดพาราฟินิก ทั้งนี้ เพราะว่าเป็นองค์ประกอบที่มีค่าดัชนีความหนืดสูงและมีเสถียรภาพที่ดีต่อความร้อนและการเกิดปฏิกิริยาออกซิเดชัน ในบางกรณีอาจจะเป็นองค์ประกอบของ

ไฮโดรคาร์บอนในกลุ่มแหนพานิค เช่น น้ำมันหล่อลื่นเครื่องกำกับความเย็น คอมเพรสเซอร์หรือฐานน้ำมันในระบบที่ต้องมีค่าจุดไฟให้ต่ำกว่าจะมีดัชนีความหนืดที่ต่ำกว่ากลุ่มพาราฟินิกตาม คุณสมบัติสำคัญๆ ของพาราฟินิก แหนพานิคและอะโรเมติก แสดงการเปรียบเทียบให้เห็นได้ดังแสดงในภาพที่ 2-1

คุณสมบัติ	ASTM	พาราฟินิก	แหนพานิค	อะโรเมติก
ความหนืด (cSt) @ 40°C	D445	40	40	36
ความหนืด (cSt) @ 100°C	D445	6.2	5	4
ดัชนีความหนืด	D2270	100	0	-185
ค่าความตึงจำเพาะ	D287	0.8628	0.9194	0.9826
จุดวับไฟ	D92	229	174	160
จุดเหลว	D97	-15	-30	-24
% พาราฟินิก	D3238	66%	45%	23%
% แหนพานิค	D3238	32%	41%	36%
% อะโรเมติก	D3238	2%	14%	41%

ภาพที่ 2-1 เปรียบเทียบคุณสมบัติทั่ว ๆ ไปของแหนพานิค พาราฟินิกและอะโรเมติก

น้ำมันฐานแร่เปรียบเทียบกับน้ำมันฐานสังเคราะห์ ซึ่งน้ำมันหล่อลื่นที่ใช้กันโดยทั่วไปมีเพียงส่วนน้อยเท่านั้นที่เป็นฐานน้ำมันสังเคราะห์ ซึ่งส่วนใหญ่น้ำมันหล่อลื่นที่ใช้จะเป็นฐานน้ำมันแร่ที่ได้มาจากการกลั่นน้ำมันดิบ อย่างไรก็ตามน้ำมันฐานสังเคราะห์ก็มีหลากหลายชนิดให้เลือกใช้ ซึ่งมีคุณสมบัติที่แตกต่างกันออกไปตามโครงสร้างที่แตกต่างกัน เนื่องจากมักจะจำเป็นต้องเลือกใช้น้ำมันฐานสังเคราะห์แทนน้ำมันหล่อลื่นฐานแร่คือ

1. มีอุดมขัยในการต่อต้านการเกิดปฏิกิริยาออกซิเดชัน
2. เพิ่มขีดความสามารถในการหล่อลื่น
3. ป้องกันการติดไฟ
4. ต่อต้านอุณหภูมิใช้งานสูงๆ
5. มีเสถียรภาพที่ดีต่อการเปลี่ยนแปลงอุณหภูมิ
6. ยืดระยะเวลาในการถ่ายน้ำมัน

ข้อได้เปรียบเหล่านี้ควรได้รับการพิจารณาเปรียบเทียบกับข้อด้อยของน้ำมันสังเคราะห์ เมื่อเทียบกับน้ำมันหล่อลื่นฐานน้ำมันแร่ก่อนการตัดสินใจเปลี่ยนชนิดของสารหล่อลื่น

1. ราคาแพง
2. อาจไม่เข้ากันกับชิลหรือวัสดุเคลื่อนผิวต่าง ๆ
3. มีแนวโน้มที่เป็นสารพิษ
4. ค่าใช้จ่ายในการทำลายทึบสูง
5. อาจไม่เข้ากันกับน้ำมันหล่อลื่นฐานแร่ที่คั่งค้างอยู่ในระบบ

2.3 หน้าที่ของสารหล่อลื่น

สารหล่อลื่นมีลักษณะแตกต่างกัน เช่นอยู่ในรูปแบบของของเหลว กึ่งของแข็ง กึ่งของเหลว (เจาะปี) หรือมีลักษณะเป็นแผงของแข็ง เช่น พองแกรไฟฟ์ ผงโมลิบดีนัมไดซัลไฟฟ์ (MoS₂) หรือ พองพลาสติก (PTFE: Polytetra Fluoro Ethylene) เป็นต้น ทั้งนี้และทั้งนั้นขึ้นอยู่กับการประยุกต์ใช้งาน การใช้สารหล่อลื่นก่อให้เกิดประ予以ช์น์ต่อชิ้นส่วนเครื่องจักรกลได้ดังนี้

2.3.1 ลดการเสียดทานและการสึกหรอ

สารหล่อลื่นจะแทรกตัวอยู่ระหว่างชิ้นส่วนเครื่องจักร/เครื่องยนต์ที่มีการเคลื่อนที่โดยขึ้นอยู่กับความสามารถในการรองรับภาระของสารหล่อลื่นชนิดนั้นๆ ในลักษณะการสร้างฟิล์มน้ำมันที่ผิวของวัตถุนั้น เป็นผลให้มีแรงเสียดทานน้อยลง การเสียดทานจะทำให้เกิดความร้อน และเป็นสาเหตุหลักที่ทำให้ผิวน้ำมันสึกดูมีการเสื่อมสภาพโดยเฉพาะการสึกหรอ ทั้งความร้อน และการสึกหรอที่เกิดขึ้นจะส่งผลให้ทั้งชิ้นส่วนเครื่องจักรและสารหล่อลื่นมีอายุการใช้งานลดลง ระดับของความหนาฟิล์มน้ำมันที่แทรกอยู่ในระหว่างชิ้นส่วนเครื่องจักรจะนานบางมาก น้อยแค่ไหนนั้นขึ้นอยู่กับปัจจัยหลายประการ เช่น ระดับของภาระ ลักษณะของการใช้งาน ความเร็วหรือความเร็วอ่อนในการใช้งาน ค่าความหนืดของน้ำมันหล่อลื่นหรือค่าความแข็งอ่อนของเจาะปี อุณหภูมิรายรอบ สภาพสิ่งแวดล้อม เป็นต้น โดยทั่วไปแล้วในลักษณะของการเคลื่อนที่ของชิ้นส่วนเครื่องจักรกลที่มีการลื่นไถลสารหล่อลื่นจะสร้างฟิล์มที่มีความหนาอยู่ที่ประมาณ 2 ถึง 20 ไมครอน หากในการนี้ที่ไม่สามารถสร้างฟิล์มสารหล่อลื่นขึ้นมาได้ก็อาจจำเป็นต้องผสมสารเคมีหรือสารปruzing แต่งของแข็งลงไปในสารหล่อลื่นนั้นเพื่อลดการเสียดทานที่จะเกิดขึ้นจากการสมผัสถกนระหว่างผิวชิ้นงานที่เป็นคู่สมผัสถังก่อน

2.3.2 ควบคุมอุณหภูมิ

การเหลื่อยของน้ำมันหล่อลื่นผ่านเข้าสู่ผิวสัมผัสของชิ้นส่วนเครื่องจักรจะช่วยดูดกลืนความร้อนที่เกิดขึ้นและจะถูกระบายนอกไปอาจจะด้วยวิธีการถ่ายเทความร้อนโดยหลักการทางธรรมชาติ เช่น การนำความร้อนหรือการแผรังสี เป็นต้นหรืออาจจะใช้วิธีการแลกเปลี่ยนความร้อนด้วยอุปกรณ์ประเภทอีทีเอ็กเซนเจอร์หรือใช้ระบบการหล่อยีนแบบต่างๆอาทิ การใช้พัดลม ระบายนความร้อนหรือการใช้น้ำหล่อเย็นเป็นต้น

2.3.3 การควบคุมสิ่งสกปรก

สารหล่อลื่นทำหน้าที่เป็นตัวป้องกันชั้นส่วนเครื่องจักรกลจากสิ่งแวดล้อม ชะลอหรือรบกวนการเข้ามาของสิ่งสกปรกจากภายนอก เช่น ฝุ่นละออง น้ำหรือความชื้น หรือสารเคมีต่าง ๆ ยิ่งไปกว่านั้นสารหล่อลื่นยังคงต้องสามารถซักพำนใจให้สิ่งสกปรก หรือสารที่อาจจะเกิดขึ้นภายในระบบ ให้ไปสู่บริเวณกันอย่างหรือถังพักน้ำมันหล่อลื่น และไปสู่ไส้กรองน้ำมันหล่อลื่นในกรณีของเหยื่อนุภาคขนาดเล็กที่ไม่ตกตะกอนแน่นกัน

2.3.4 ป้องกันการเกิดปฏิกิริยาเคมี

สารหล่อลื่นจะทำหน้าที่เคลือบผิวของชั้นส่วนเพื่อกำหนดที่ป้องกันไม่ให้เกิดสนิมและการกัดกร่อนที่อาจจะเกิดขึ้นจากน้ำ ความชื้นหรือสารเคมี

2.3.5 การส่งถ่ายพลังงาน

โดยเฉพาะในระบบไฮดรอลิกแล้วนั้นน้ำมันไฮดรอลิกทำหน้าที่เป็นตัวกลางในการส่งถ่ายพลังงานเพื่อทำให้ระบบออกไฮดรอลิก วาว์และมอเตอร์ไฮดรอลิก ฯลฯ มีการเคลื่อนที่หรือใช้งานได้ตามที่ต้องการ

2.3.6 การซึมซับแรงกระแทก

น้ำมันหล่อลื่นที่ถูกนับรู้ไว้ในกระบวนการใช้คืออพของยานยนต์ต่าง ๆ ทำหน้าที่ผ่อนแรงกระแทกจากถนนที่ชรุขระที่ส่งผลโดยตรงต่อชั้นส่วนเครื่องยนต์และผู้ขับขี่และผู้โดยสาร

2.3.7 ฉนวนไฟฟ้า

น้ำมันหล่อลื่นที่ใช้ในหม้อแปลงไฟฟ้ามีหน้าที่หลัก ๆ คือ เป็นฉนวนไฟฟ้าและถ่ายเทความร้อนในระบบหม้อแปลงไฟฟ้าทั้งนี้เพื่อป้องกันไม่ให้เกิดการลัดวงจรภายในระบบการเชื่อมต่อไฟฟ้าแรงดันสูง

2.3.8 ช่วยล้างทำความสะอาด

น้ำมันฟลัชซิ่งที่มักจะใช้ในการทำความสะอาดต่าง ๆ เช่น เทอร์บิน ระบบเพื่องหดหรือระบบไฮดรอลิกขนาดใหญ่ มีหน้าที่หลักคือการช่วยล้างเอาสิ่งสกปรกตกค้างในห้องทางภายในระบบหรือในถังพักต่าง ๆ ที่หลงเหลืออยู่ในเครื่องจักรใหม่ ๆ หรือหลังจากการทำการโอด์เรอร์ของล

2.3.9 ถ่ายเทความร้อน

น้ำมันประเภทนี้ส่วนใหญ่ใช้กันในกระบวนการการชุบแข็งเหล็กเป็นหลัก โดยน้ำมันประเภทนี้ต้องมีการพิจารณาถึงความสามารถในการถ่ายเทความร้อนเป็นหลักสำคัญ

2.4 หน้าที่ของสารปรุงแต่ง

สารปรุงแต่งเป็นสารเคมีที่ผสมเข้ากับน้ำมันหล่อลื่นเพื่อปรับปรุงให้น้ำมันหล่อลื่นที่ถูกใช้เป็นฐานน้ำมันให้มีคุณสมบัติตามที่ต้องการของผู้ใช้งาน โดยทั่วไปสารปรุงแต่งมักใช้ผสมไว้ในน้ำมันหล่อลื่นเพื่อเสริมคุณสมบัติเด่นที่มีอยู่ในฐานน้ำมันให้ดียิ่งขึ้นไปอีก กดคุณสมบัติต้อยของ

ฐานน้ำมันไม่ให้แสดงออกมา และสร้างคุณสมบัติพิเศษใหม่ๆ ให้เกิดขึ้นเนื่องจากฐานน้ำมันเหลือนี้ยังขาดคุณสมบัติเหล่านั้นอยู่

ต่อไปนี้เป็นการอธิบายคุณสมบัติและหลักการทำงานของสารป้องแต่งสำคัญฯ ที่มักนิยมใช้กันอยู่โดยทั่วไป

2.4.1 สารยับยั้งปฏิกิริยาออกซิเดชัน (Anti-Oxidants/Oxidation Inhibitor)

สารเหลือนี้มีปฏิกิริยา กับออกซิเจน เป็นสิ่งที่หลีกเลี่ยงได้ยากและโดยเฉพาะที่อุณหภูมิใช้งานสูงๆ ซึ่งผลของปฏิกิริยานี้ทำให้เกิดสารองค์ประกอบของไฮโดรเจนperอรอกไซด์ อนุมูลอิสระ คือ ดีโตร แอลดีไฮด์ และกรดอินทรีย์ อัตราการเกิดขึ้นของสิ่งเหล่านี้เรียกว่า “อัตราการเกิดออกซิเดชัน” ขึ้นอยู่กับปัจจัยต่อไปนี้

2.4.1.1 ปริมาณของฟองอากาศ – ทำให้ออกซิเจนมีพื้นที่ผิวมากยิ่งขึ้นในการทำปฏิกิริยากับโมเลกุลของน้ำมันเหลือนี้

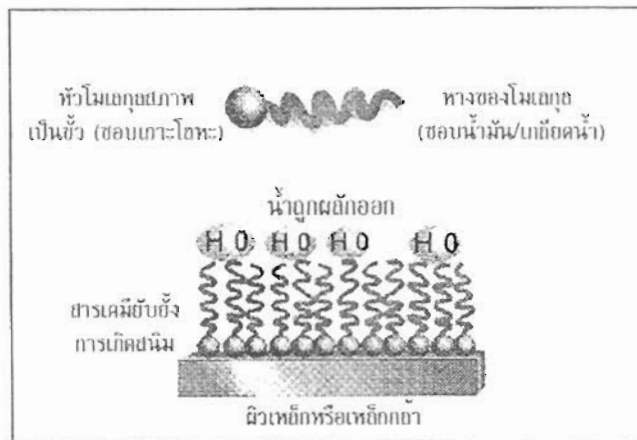
2.4.1.2 อุณหภูมิ – อัตราการเกิดออกซิเดชันจะเพิ่มขึ้นเป็นสองเท่าตัวทุก ๆ 10 องศา ที่อุณหภูมน้ำมันหรือสารเหลือนี้สูงเกินกว่า 70 องศาเซลเซียส

2.4.1.3 น้ำ – ทำให้เกิดปฏิกิริยาไฮโดรไลซิส ซึ่งเป็นการช่วยเร่งให้เกิดออกซิเดชันให้เร็วมากขึ้น

2.4.1.4 ผงเศษโลหะที่เป็น cata stic – เศษผงโลหะกลุ่มทองแดง ตะกั่ว เหล็ก และธาตุที่ไว้ต่อปฏิกิริยาเคมีอื่นๆ จะยิ่งเร่งให้เกิดปฏิกิริยาออกซิเดชันเร็วมากขึ้น ปฏิกิริยาออกซิเดชันมีผลทำให้คุณสมบัติทางเคมีและกายภาพของน้ำมันเหลือนี้เปลี่ยนไปคือทำให้ ความหนืด ความเป็นกรด และความถ่วงจำเพาะเพิ่มสูงขึ้น ทำให้น้ำมันมีสีเข้มมากขึ้น เกิดคราบวนิช/คราบยางเหนียวจับเกาะผิวชิ้นงาน จนสะสมเกิดเป็นตmutะกอนนองกันที่กันอ่างหรือถังพักน้ำมันเหลือนี้

2.4.2 สารยับยั้งสนิม

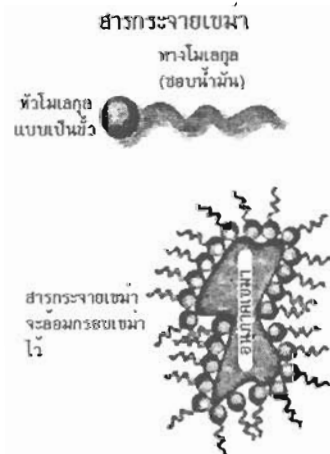
น้ำหรือความชื้น มีผลร้ายมากต่อห้องส่วนเครื่องจักรและต่อสารเหลือนี้เองด้วย สนิมเป็นผลมาจากการปนเปื้อนด้วยน้ำและมีผลต่อเนื่องเป็นการกัดกร่อนซึ่งจะมีผลต่ออายุขัยของชิ้นส่วนที่ทำการเหล็กและเหล็กกล้า ดังนั้นเพื่อเป็นการป้องกันการเกิดสนิม จึงจำเป็นต้องมีสารเคมีต่อต้านสนิมผสมลงไปในน้ำมันเหลือนี้ ดังแสดงในภาพที่ 2-2 แสดงให้เห็นลักษณะของสารป้องแต่งต่อต้านการเกิดสนิม ซึ่งมีสภาพโมเลกุลเป็นข้าว ซึ่งจะยึดเกาะเข้ากับผิวของเหล็ก และเหล็กกล้าโดยที่สภาวะข้าวด้านหัวของสารเคมีนี้จะจับเกาะกับผิวโลหะและส่วนหางของสารเคมีนี้จะเป็นส่วนที่ผลักดันส่วนของน้ำออกไปจากผิวโลหะ สารป้องแต่งเหล่านี้จะทำหน้าที่สร้างพิล์มปกป้องโดยการขับไล่ไม่ให้น้ำหรือความชื้น เข้าไปสัมผัสเข้ากับผิวของเหล็กได้ ดังนั้น จะทำให้กระบวนการเกิดสนิมถูกดัดตอนออกไป



ภาพที่ 2-2 การทำงานของสารยับยั้งการเกิดสนิม

2.4.3 สารกระจายเขม่าและสารชีลังทำความสะอาด

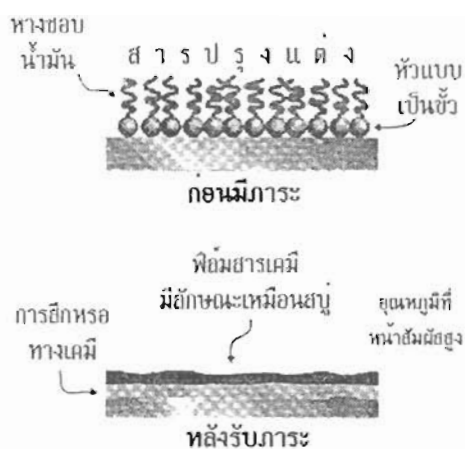
สารกระจายเขม่าเป็นโมเลกุลชนิดแบบเป็นข้าวซึ่งจะอยู่ล้อมกรอบคราบเหนียวและเขม่าเพื่อป้องกันการรวมตัวเกาะเข้าด้วยกันเป็นกลุ่มและเกาะติดบนผิวโลหะโดยเฉพาะส่วนของเครื่องยนต์ที่มีอุณหภูมิต่ำ (เช่น อ่างน้ำมันเครื่อง ฝาครอบกระเดื่องกด瓦ล์ว เป็นต้น) โดยการที่ทำให้เขม่ากระจายตัวออกจากกันโดยที่มีขนาดเล็ก ๆ และแพร่ลงอยู่ในน้ำมันหล่อลื่นโดยที่ยกที่จะติดต่อกันไปติดอยู่บนผิวโลหะ (ภาพที่ 2-3) สารชีลังทำความสะอาดช่วยทำความสะอาดผิวโลหะที่มีอุณหภูมิสูง (ลูกสูบ แหวนลูกสูบ ลิ้นไออดี ลิ้นไอเสีย) เพื่อป้องกันการเกิดคราบยางเหนียวที่เกิดขึ้นจากการเผาไหม้จะจับเกาะผิวโลหะ นอกไปจากนั้นสารเคมีเหล่านี้ยังช่วยทำให้น้ำมันหล่อลื่นเครื่องยนต์มีค่าความเป็นด่างเพิ่มขึ้นเพื่อลบล้างค่าความเป็นกรดที่เกิดขึ้นจากการเผาไหม้



ภาพที่ 2-3 กลไกการทำงานของสารกระจายเขม่า

2.4.4 สารปูรุ่งแต่งต่อด้านการสึกหรอและสารปูรุ่งแต่งรับแรงกดสูง

สารปูรุ่งแต่ง AW และ EP ปกป้องชิ้นส่วนเครื่องจักรหรือเครื่องยนต์ภายใต้สภาพการทำงานที่มีความไวต่อปฏิกิริยาเหล่านี้จะลื่นขึ้นโดยเบตแบบบานาน์ไดร์ บางครั้งถูกเรียกว่าเป็นสารปูรุ่งแต่งต่อด้านการสึกหรอแบบบีดดิตอย่างรุนแรง (Antiscuff Additives) ภายใต้แรงกดสูงๆ สารเคมีที่มีความไวต่อปฏิกิริยาเหล่านี้จะทำปฏิกิริยากับผิวชิ้นงาน เพื่อสร้างฟิล์มที่มีลักษณะเป็นฟิล์มของไฮดรอลิคลัพเพื่อสนับที่มีความลื้นในตัวฟิล์ม (ภาพที่ 2-4) AW และ EP ต่างกันที่ความหนาของฟิล์มที่เกิดจากการทำปฏิกิริยาของผิวโลหะ



ภาพที่ 2-4 กลไกการทำงานของสารปูรุ่งแต่งกลุ่ม AW และ EP

เป็นสิ่งที่ดีเยี่ยมหากเราสามารถหลีกเลี่ยงข้อบกพร่องของการหล่อลื่นแบบบานาน์ไดร์ได้ แต่หากไม่สามารถหลีกเลี่ยงได้ ก็จำเป็นต้องเลือกสารปูรุ่งแต่งต่อด้านการสึกหรอที่มีสภาพความไวต่อปฏิกิริยาให้น้อยที่สุด สารปูรุ่งแต่งเหล่านี้จะช่วยควบคุมหรือลดการเสียดทานที่ก่อให้เกิดการเสื่อมสภาพหรือการสึกหรอของผิวคู่สัมผัสโดยไม่จำเป็น

2.4.5 สารปูรุ่งแต่งเพิ่มค่าดัชนีความหนืด

มักถูกเรียกว่า VI Improver เป็นสารเคมีที่เป็นโพลีเมอร์ที่มีพันธะเชื่อมต่อกันแบบยาวและมีน้ำหนักโมเลกุลสูง โดยทั่วไปแล้วนั้นอุณหภูมิไม่ว่าจะในด้านสูงหรือต่ำจะมีผลโดยตรงต่อค่าความหนืดของน้ำมันหล่อลื่น ในกรณีของอุณหภูมิต่ำจะทำให้น้ำมันมีความหนืดสูงและในทางตรงกันข้ามเมื่ออุณหภูมิสูงน้ำมันจะมีความหนืดต่ำ สารปูรุ่งแต่ง VI Improver นี้ถูกใช้ผสมเข้ากับน้ำมันหล่อลื่นเพื่อลดอัตราของการเปลี่ยนค่าความหนืดของน้ำมันเมื่ออุณหภูมิเปลี่ยนไปในระหว่างการใช้งาน VI Improver โดยทั่วไปแล้วประกอบด้วยสารเคมีในกลุ่มของโพลีเมอร์ โคโพลีเมอร์ เอสเตอร์ สไตรีน เป็นต้น สารเคมีเหล่านี้มักถูกนำมาใช้กับการผสมน้ำมันหล่อลื่นเครื่องยนต์ น้ำมันไฮดรอลิค น้ำมันเกียร์อัตโนมัติ และในน้ำมันหล่อลื่นพื้นเพ่องในบางกรณี

2.4.6 สารเคมียับยั้งการเกิดฟอง

สารเคมีเหล่านี้ทำให้เกิดการรวมตัวกันของฟองอากาศเล็ก ๆ ให้ลอยตัวขึ้นไปสู่ผิวน้ำบนของถังพักหรืออ่างน้ำมันหล่อลื่น สารเคมีที่ใช้ทั่วไปคือเมธิลซิลโคลนโพลีเมอร์ที่มีขนาดเล็กประมาณสิบไมครอนถูกผสมเข้ากับน้ำมันหล่อลื่น สารเคมีเหล่านี้จะถูกฟองอากาศที่อยู่ในน้ำมันดึงให้พุ่งล้อยขึ้นสู่ผิวน้ำของน้ำมันในขณะเดียวกันก็จะทำให้ฟองอากาศเหล่านี้มีความอ่อนตัวและแตกตัวในที่สุด

2.4.7 สารเคมีลดจุดไฟไหม้

สารเคมีเหล่านี้เป็นโพลีเมอร์ที่จะทำให้น้ำมันหรือสารหล่อลื่นสามารถไหม้ได้ในช่วงอุณหภูมิต่ำ ๆ โดยไม่ก่อให้เกิดไขหรือทำให้น้ำมันหนืดขันเกินไปที่อุณหภูมิต่ำ ๆ เช่นในหน้าหนาว สารเคมีชนิดนี้จะเข้าไปก่อกระบวนการก่อตัวของผลึกหรือไข้น้ำมันและยังผลให้สามารถปั๊มสารหล่อลื่นให้ยังคงไหม้ต่อไปได้ในช่วงอุณหภูมิต่ำ ๆ

2.5 สิ่งสกปรกในสารหล่อลื่น

สิ่งสกปรกเป็นสาเหตุเริ่มต้นที่ทำให้ระบบทางกล ระบบหล่อลื่นและระบบไฮดรอลิกเกิดการชำรุดและเสียหาย โดยนิยามแล้วนั้นสิ่งสกปรกแล้วสิ่งสกปรกคือ สารหรือพลังงานใด ๆ อันไม่เพียงประสงค์ที่จะให้ปะปนอยู่ในสารหล่อลื่น ดังนั้นสิ่งสกปรกอาจเป็นได้ทั้ง สิ่งสกปรกที่อยู่ในบรรยายกาศซึ่งอาจเดินลอดเข้าสู่ระบบผ่านช่องทางต่างๆ เช่น ช่องหายใจ ชีล ห้องที่มีการรั่วซึม หรือเป็นเศษโลหะจากการสึกหรอที่เกิดขึ้นภายในระบบเอง สิ่งสกปรกในสารหล่อลื่นจึงสามารถจำแนกได้ดังนี้

2.5.1 อนุภาคสิ่งสกปรก

อนุภาคสิ่งสกปรกที่มีความแข็ง เช่น ฝุ่นละออง เป็นองค์ประกอบที่สำคัญที่ทำให้ขึ้นส่วนเกิดการสึกหรอและการชำรุดในที่สุด โดยระดับความรุนแรงของการสึกหรอจะขึ้นอยู่กับขนาด รูปร่าง ค่าความแข็งและองค์ประกอบทางเคมีของอนุภาคเหล่านี้

เมื่อพิจารณาผลของอนุภาคสิ่งสกปรกที่มีต่อน้ำมันหล่อลื่นโดยเฉพาะอย่างยิ่ง เศษโลหะของชาติที่มีความไวหรือเป็นตัวเร่งปฏิกิริยาเคมี เช่น ทองแดง เหล็ก ตะกั่ว จะมีส่วนช่วยเร่งให้เกิดปฏิกิริยาออกซิเดชันได้ดีขึ้น อนุภาคสิ่งสกปรกยังทำลายสารปูรุ่งแต่งของน้ำมันที่มีสภาวะเป็นขี้วัดด้วยสมรรถนะลง เช่น สารปูรุ่งแต่งรับแรงกดดูง สารปูรุ่งแต่งต่อต้านการสึกหรอ สารยับยั้งการเกิดสนิม และสารกระจายเชื้อ นอกจากนั้นสิ่งสกปรกแขวนลอยขนาดเล็ก ๆ ยังจะทำให้น้ำมันหล่อลื่นเปลี่ยนแปลงค่าความหนืดและสีได้อีกด้วย ส่วนในแง่ผลกระทบของอนุภาคสิ่งสกปรกที่มีต่อเครื่องจักร มักก่อให้เกิดการสึกหรอโดยเฉพาะอนุภาคของแข็ง และเร่งให้เกิดการชำรุดของเครื่องจักรกล

2.5.2 ความชื้นหรือน้ำ

เป็นสิ่งสกปรกที่มีผลต่อการเสื่อมสภาพของเครื่องจักรเป็นอันดับที่ 2 รองจากของแข็ง โดยจะสามารถปนเปื้อนในน้ำมันหล่อลื่นได้ 3 สถานะคือ

2.5.2.1 น้ำอิสระ

เป็นน้ำที่ปนเปื้อนอยู่ในน้ำมันหล่อลื่น มีปริมาณมากและเกิดแยกตัวออกจากน้ำมันหล่อลื่น หรือมองเห็นได้ถึงการแยกตัวออกเป็นชั้นของน้ำและชั้นของน้ำมันหล่อลื่น ซึ่งเกิดจากความถ่วงจำเพาะที่แตกต่างกันระหว่างน้ำมันและน้ำมันหล่อลื่น โดยทั่วไปน้ำอิสระจะแยกตัวออกไปสะสมกันอยู่ที่ก้นถังพัก แต่ในบางกรณีที่น้ำมันมีค่าความถ่วงจำเพาะสูงกว่าน้ำ(น้ำมันสังเคราะห์บางกลุ่ม) ทำให้น้ำอิสระลอยตัวอยู่บนผิวน้ำของน้ำมัน

2.5.2.2 น้ำที่ผสมอยู่กับน้ำมัน (Emulsified)

เมื่อน้ำอิสระอยู่ภายใต้สภาวะของการถูกเนื้อน้ำ เช่น ในระหว่างการปั๊มน้ำมัน น้ำมันหล่อลื่น จะทำให้กลุ่มของน้ำอิสระในน้ำมันจะถูกกระจายออกมานเป็นหยดน้ำขนาดเล็กๆ และจะแหวนล้อยอย่างมีเสถียรภาพผสมอยู่กับน้ำมันหล่อลื่น และในบางกรณีจะในสภาพของออกไซด์ และสิ่งสกปรกจะส่งเสริมหรือมีส่วนช่วยให้หยดน้ำเล็ก ๆ เหล่านี้แหวนล้อยอยู่ในน้ำมันได้ดียิ่งขึ้นด้วย การที่น้ำผสมกันน้ำมันหล่อลื่นจะทำให้น้ำมันมีสีเข้มกว่าหรือเป็นสีขาวเหมือนสีน้ำมัน ทั้งนี้ขึ้นอยู่กับปริมาณของน้ำที่ผสมอยู่

2.5.2.3 น้ำหรือความชื้นที่สมรวมตัวอยู่ในน้ำมัน

การปนเปื้อนของน้ำในลักษณะนี้จะไม่สามารถมองเห็นได้ด้วยตาเปล่า ซึ่งโดยทั่วไปแล้ว น้ำมันจะมีน้ำผสมอยู่ปริมาณเล็กน้อยในองค์ประกอบทางเคมีของน้ำมัน โดยจะมีปริมาณมากน้อยเพียงใดนั้นจะขึ้นอยู่กับชนิดของฐานน้ำมัน สภาพของฐานน้ำมัน ลักษณะของสารปูรุ่งแต่ง ปริมาณของสิ่งสกปรก และอุณหภูมิของน้ำมัน ตัวอย่างเช่น ฐานน้ำมันกลุ่มพาราฟินิกที่มีคุณภาพสูงและมีความบริสุทธิ์ของพาราฟินสูง ๆ ที่ปราศจากสารปูรุ่งแต่งหรือมีสารปูรุ่งแต่งเพียงแต่บั้งปูริยาออกซิเดชัน จะมีการละลายตัวของความชื้นหรือน้ำในปริมาณที่น้อยมาก ก่อนที่จะถึงจุดอิ่มตัวของการละลายตัวจากน้ำหรือความชื้น ในทางกลับกันหากเป็นฐานน้ำมันที่มีคุณภาพต่ำและน้ำมันได้ถูกออกซิไดซ์ไปแล้ว และมีการผสมไว้ด้วยสารปูรุ่งแต่งที่มีสภาพความเป็นข้าวสูงมากก็จะยังส่งผลให้มีการ คุณชีมน้ำได้ในปริมาณมากขึ้นก่อนที่จะถึงจุดอิ่มตัว และแน่นอนว่าจุดอิ่มตัวของน้ำมันหล่อลื่นได ๆ จะเก็บข้องหรือขึ้นอยู่กับระดับของอุณหภูมิ เมื่ออุณหภูมิสูงขึ้นก็จะสามารถลดคุณชีมน้ำได้มากยิ่งขึ้น และหากอุณหภูมิลดลงก็จะคุณชีมได้น้อยลง และหากเมื่อได้ที่อุณหภูมิลดลงต่ำลงกว่าจุดกลั่นตัว น้ำหรือความชื้นที่ผสมตัวอยู่ในน้ำมันก็จะแยกออกมานเป็นกลุ่มของน้ำอิสระหรือกลุ่มของน้ำกับน้ำมันที่เป็นสีเข้มกว่า

น้ำจะส่งผลกระทบต่อน้ำมันหล่อลื่น โดยจะทำปฏิกิริยากับสารปูรุ่งแต่งบางประเภทและทำให้เกิดการแตกหักบนกันหรือทำให้เกิดสารเคมีที่มีความไวสูงจากผลของการรวมตัวเข้ากับน้ำ (Hydrolysis) นอกจากนั้นน้ำยังทำหน้าที่เป็นตัวเร่งปฏิกิริยาเคมี (Catalyst) ของการเกิด

ออกซิเดชัน โดยเฉพาะอย่างยิ่งเมื่อมีเศษโลหะนอกกลุ่มของเหล็ก ทองแดง และตะกั่วผสมอยู่ในน้ำมันหล่อลื่น ในการณ์ที่มีน้ำอิสระผสมอยู่ในถังพักน้ำมันหล่อลื่นจะส่งผลให้มีการเจริญเติบโตของสิ่งมีชีวิตเล็ก ๆ เช่น แบคทีเรีย เป็นต้น สิ่งมีชีวิตเหล่านี้ใช้น้ำมันหล่อลื่นเป็นอาหารและย่อยสลายน้ำมันให้กลายเป็นกรด ซึ่งเป็นการเร่งให้น้ำมันเกิดออกซิเดชันเร็วขึ้น รวมไปถึงทำให้การองน้ำมันอุดตันอีกด้วย และยังส่งผลกระทบต่อเครื่องจักร โดยน้ำในสถานะของน้ำอิสระหรือน้ำที่รวมตัวอยู่กับน้ำมันจะส่งผลต่อการหล่อลื่น โดยทำให้ฟลูมน้ำมันหล่อลื่นด้อยสมรรถนะลง และส่งผลทำให้ชั้นส่วนเครื่องจักรมีโอกาสที่จะเกิดการสึกหรอแบบด่าง ๆ เช่น การขัดขีด (Abrasive) การยึดติด (Adhesive) และการล้าด้ว (Fatigue) นอกจากนั้นน้ำก่อให้เกิดสนิมเหล็ก และส่งผลต่อเนื่องให้เกิดการกัดกร่อน โดยเฉพาะอย่างยิ่งวัสดุที่ใช้ทำแบรริ่งกับ (ทองแดง ตะกั่ว หรือดีบุก)



ภาพที่ 2-5 ลักษณะการปนเปื้อนของน้ำในน้ำมันหล่อลื่น

2.5.3 การปนเปื้อนจากน้ำมันเชื้อเพลิง

การปนเปื้อนด้วยน้ำมันเชื้อเพลิงเกิดขึ้นกับโดยเฉพาะในอ่างน้ำมันเครื่องยนต์ โดยทั่วไปแล้วในยานยนต์นั้นอ่างน้ำมันเครื่องจะมีการปนเปื้อนด้วยน้ำมันเชื้อเพลิงอยู่ไม่มากก็น้อยในระหว่างการใช้งาน การที่ไม่ทำการเปลี่ยนถ่ายน้ำมันตามระยะเวลาหรือการใช้งานอย่างไม่ถูกต้องหรือมีสิ่งผิดปกติในเครื่องยนต์จะส่งผลให้เครื่องยนต์ทำงานผิดปกติ และจะยิ่งส่งผลให้มีน้ำมันเชื้อเพลิงปนเปื้อนน้ำมันเครื่องยนต์ในปริมาณที่สูงผิดปกติ

การปนเปื้อนของน้ำมันเชื้อเพลิงในน้ำมันหล่อลื่นจะมีผลต่อสมรรถนะของน้ำมันหล่อลื่น และเครื่องยนต์ในรูปแบบต่าง ๆ ดังไปนี้

2.5.3.1 การเกิดออกซิเดชันก่อนกำหนด

ไม่เลกุลของน้ำมันเชื้อเพลิงจะถูกออกซิได้ซึ่งยากมาก การเกิดออกซิเดชันของน้ำมันเชื้อเพลิงในน้ำมันหล่อลื่นจะทำให้เกิดสารเคมีที่เป็นผลพลอยได้ของปฏิกิริยาออกซิเดชัน ซึ่งจะส่งผลให้เกิดปฏิกิริยาลูกโซ่ของการเกิดออกซิเดชันของน้ำมันหล่อลื่นได้เร็วขึ้น

2.5.3.2 ความหนืดเปลี่ยนไป

น้ำมันเชื้อเพลิงจะผสานตัวเข้ากับน้ำมันหล่อลื่นได้และทำให้ความหนืดลดลง

2.5.3.3 ทำให้สารปรุงแต่งถูกเจือจาง

เนื่องจากน้ำมันเชื้อเพลิงไม่ได้มีสารปรุงแต่งผสมมาด้วย ดังนั้นยิ่งมีมากเท่าใดทำให้สารปรุงแต่งในน้ำมันเจือจางลงมากเท่านั้น

2.5.3.4 มีการสะสมของกำมะถัน

ส่วนประกอบของกำมะถัน (โดยเฉพาะน้ำมันดีเซล) ที่เพิ่มขึ้นในน้ำมันหล่อลื่นจะยิ่งมีการเสียบมากขึ้นต่อการเกิดการกัดกร่อน

2.5.3.5 ทำให้เครื่องยนต์เกิดการสึกหรอเพิ่มขึ้น

ความหนืดที่ลดลงและการเจือจางไปของสารปรุงแต่งต่อต้านการสึกหรอ (AW:Anti Wear) โดยทั้งสองส่วนจะทำให้อัตราการสึกหรอทางกลมีค่าสูงขึ้น

2.5.3.6 การกัดกร่อนเพิ่มขึ้น

กรดซัลฟูริกและการอินทรีย์ที่เป็นผลพวงจากปฏิกิริยาออกซิเดชัน จะเร่งให้เกิดการกัดกร่อนเพิ่มมากขึ้น

2.5.3.7 เสียงต่อการเกิดอัคคีภัยและการระเบิด

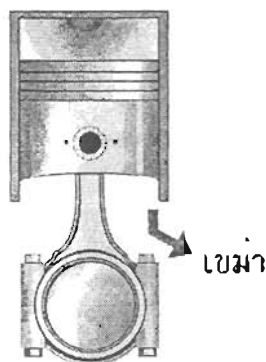
การที่มีระดับหรือปริมาณของน้ำมันเชื้อเพลิงที่สูงมากจะมีโอกาสเสี่ยงที่จะเกิดการติดไฟ หรือการระเบิดของเครื่องยนต์ และหากมีปริมาณน้ำมันเชื้อเพลิงมาก ๆ ในน้ำมันเครื่องยนต์จะทำให้น้ำมันมีปริมาณมากเกินไปจนล้นออกมานมีความเสี่ยงที่จะเกิดไฟไหม้ได้

2.5.4 การปนเปื้อนจากเชื้อ

เขม่าเป็นสิ่งที่หลักเลี่ยงไม่ได้โดยธรรมชาติจากการเผาไหม้ การที่ไม่เปลี่ยนถ่ายน้ำมันเครื่องยนต์ตามระยะเวลา หรือการเผาไหม้ที่ไม่สมบูรณ์จะมีผลทำให้มีปริมาณเขม่าสูงผิดปกติ และมีผลร้ายต่อเครื่องยนต์ กฎหมายด้านสิ่งแวดล้อมโดยทั่วไปจะมีการควบคุมปริมาณเชม่าและไอเสียที่มีก๊าซในโทรศัพท์ (NO_x) โดยมีการติดตั้งชุดอิจิอาร์ (EGR: Exhaust Gas Recirculation) จะยิ่งส่งผลให้มีปริมาณเขม่าสูงมากขึ้นในน้ำมันหล่อลื่นเครื่องยนต์ในอนาคต เชม่าเขามาได้โดยการเกิดใบ��이ดังแสดงในภาพที่ 2-6 ซึ่งก๊าซจากการเผาไหม้ดังกล่าวเกิดขึ้นได้ตั้งต่อไปนี้

- ก๊าซสัมอัดต่ำเกินไป ทำให้การเผาไหม้ไม่สมบูรณ์ ทำให้มีอัตราการเกิดเขม่าสูงขึ้น

2. อัตราส่วนผสมหนาเกินไป เกิดจากการอุดตันหรือความผิดปกติของการไหลของอากาศผ่านไส้กรองอากาศหรือมีการปรับดังอัตราส่วนผสมของไอเดียมีเหมาะสม
3. อุณหภูมิของอากาศต่ำเกินไป ในบางฤดูอาจจะมีสภาพของอุณหภูมิอากาศต่ำเกินไป (ฤดูหนาว)
4. การลากจูง ทำให้มีภาระใช้งานสูงเกินไปหรือใช้งานเครื่องยนต์ที่เกียร์ต่ำเกินไป
5. อุญทรอบเดินเบนานาเกินไป ใช้งานที่ความเร็วรอบเดินเบาเป็นเวลานานหรือใช้ความเร็วต่ำเกินไปในระหว่างการใช้งาน



ภาพที่ 2-6 เบ่าที่เกิดขึ้นภายในระบบการสันดาปภายใน

เบ่ามีผลต่อน้ำมันหล่อลื่นเครื่องยนต์ดังนี้

2.5.4.1 ทำให้สมรรถนะของสารกระเจ้ายางเบ่าต่ำลง

โดยการดูดซึมโมเลกุลของสารปูรุ่งแต่งกระเจายเบ่าในปริมาณที่มากขึ้น จะส่งผลทำให้สมรรถนะของสารปูรุ่งแต่งกลุ่มนี้ลดลงอย่างรวดเร็ว และเมื่อมีเบ่าเพิ่มมากขึ้นจะทำให้น้ำมันหมดสภาพการใช้งานได้อย่างรวดเร็ว

2.5.4.2 สมรรถนะของสารปูรุ่งแต่งต่อต้านการสึกหรอลดลง

โมเลกุลของสารปูรุ่งแต่งกลุ่มนี้ถูกซึมซับ โดยผิวน้ำของเบ่าและทำให้สารปูรุ่งแต่งไม่สามารถปักป้องผิวโลหะจากการสึกหรอได้

2.5.4.3 ทำให้ความหนืดสูงขึ้น

เบ่าที่เขวนลงอยู่ในน้ำมันหล่อลื่นจะทำให้ความหนืดสูงขึ้น ซึ่งส่งผลให้อุณหภูมิมีค่าสูงขึ้นและทำให้น้ำมันไหลตัวได้ช้าลงในการเข้าไปหล่อลื่นชั้นส่วนต่าง ๆ

นอกจากนี้การสะสมของเบ่ายังส่งผลกระทบร้ายต่อชั้นส่วนเครื่องยนต์ โดยจะทำให้เสกรองอุดตัน ยิ่งส่งผลทำให้เกิดการสึกหรอแบบบูดขึด เกิดคราบตะกอน ตามตะกอน และอุดตันท่อน้ำมันหล่อลื่น

2.5.5 การปนเปื้อนจากไกลคอล

ไกลคอลมักจะปนเปื้อนเข้ากับน้ำมันเครื่องยนต์ในอ่างน้ำมันเครื่อง ซึ่งมักจะใช้สารหล่อเย็นที่มีไกลคอลเป็นองค์ประกอบผสมกับน้ำ เพื่อใช้ทำการระบายความร้อน เมื่อมีไกลคอลไหลในระบบจะเป็นปัจจัยเสี่ยงที่จะเกิดการรั่วซึมเข้าสู่ระบบการหล่อเย็น โดยเฉพาะอย่างยิ่งรั่วเข้าสู่อ่างน้ำมันเครื่องยนต์

ไกลคอลมีผลร้ายต่อน้ำมันเครื่องยนต์ โดยทำให้เกิดเจล (รุน) และทำให้น้ำมันเป็นสีขาวขุ่น ทำให้ความหนืดเพิ่มขึ้น เร่งการเกิดออกซิเดชัน และทำให้เกิดกรดในน้ำมันหล่อเย็น ซึ่งทำให้เครื่องยนต์เกิดการสึกหรอเพิ่มขึ้นเนื่องจากการขาดสารหล่อเย็น เกิดการกัดกร่อน และการอุดตันของไส้กรองได้

2.6 ไดอิเลคทริกเหลว

ไดอิเลคทริกคือ วนวนไฟฟ้าที่ใช้คั่นระหว่างอิเลคโทรด เพื่อกันหรือให้กันแรงดันได้สูงขึ้น กว่าก๊าซหรืออากาศด้วย ของเหลวได้สามารถนำมาใช้เป็นวนวนได้ทั้งนั้น ถ้าหากว่าของเหลวนั้นมีค่าความต้านทานมากเพียงพอ และไม่เปลี่ยนสภาพทางพิสิกส์ในช่วงเวลาที่นานพอสมควร ซึ่งน้ำมันประเทกไห้โดยรวมบน เช่นน้ำมันปิโตรเลียม ถูกนำมาใช้เป็นวนวนเหลวในระบบและอุปกรณ์ไฟฟ้าแรงสูงมาเป็นเวลานาน โดยลักษณะสำคัญที่เป็นตัวบ่งชี้ถึงคุณสมบัติและคุณภาพของไดอิเลคทริก คือ

2.6.1 ความต้านทาน

ไดอิเลคทริกหรือนวนที่สมบูรณ์แล้วจะต้องไม่นำกระแสเลียทั้งสิ้นเมื่อได้รับแรงดันไฟฟ้ากระแสตรง นั่นคือจะต้องไม่มีสภาพนำไฟฟ้าอยู่เลย หรือกล่าวอีกนัยหนึ่งก็คือ มีความต้านทานสูงเป็นอนันต์ แต่ในความเป็นจริงในทางปฏิบัตินั้นวนวนไฟฟ้ามักนำกระแสได้แต่มีค่าน้อยมาก นั้นแสดงว่าวนวนไฟฟ้านั้นมีค่าความต้านทานสูงที่สามารถวัดค่าได้ (ไม่เป็นอนันต์)

ค่าความต้านทานของไดอิเลคทริกนั้นอาจคำนวณหรือวัดค่าได้เช่นเดียวกันกับค่าความต้านทานของตัวนำ ถ้าทราบค่าความต้านทานจำเพาะ (ρ) ความหนา (d) และพื้นที่หน้าตัด (A) ของไดอิเลคทริก โดยความต้านทานของวนวนหาได้จาก

$$R = \rho d/A \quad (2-1)$$

2.6.2 เปอร์มิตติวิตี้ (Permittivity)

เปอร์มิตติวิตี้นั่นบางทีก็เรียกว่า ค่าคงตัวของไดอิเลคทริก (dielectric constant : ϵ) เป็นพารามิเตอร์ที่สำคัญประการหนึ่ง ไม่มีมิติและเป็นตัวบ่งชี้ของลักษณะของไดอิเลคทริกหรือสารวนวนไฟฟ้า ที่กำหนดความสามารถของการสร้างกระแสแม่เหล็กด้วย ϵ ก็คือ

ค่าด้วยเลขที่ทำให้ทราบว่าจะเพิ่มขึ้นกี่เท่าของค่าเดิมของสัญญาการเมื่อใส่ไดอิเลคทริกที่มีเปอร์มิตติวิต์ ϵ เข้าไปแทนที่นั้นคือ

$$C = \epsilon C_0 \quad (2-2)$$

ปกติเปอร์มิตติวิต์ ϵ จะแสดงเป็นค่าสัมพัทธ์ ϵ_r เทียบกับค่าคงตัวไดอิเลคทริกของสัญญาการ ϵ_0 คือ

$$\epsilon = \epsilon_r \epsilon_0 \quad (2-3)$$

โดยที่

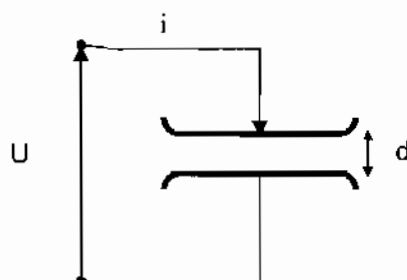
$$\begin{aligned} \epsilon_0 &= 10^{-9}/36\pi \\ &= 8.854 \times 10^{-12} \text{ F/m} \end{aligned} \quad (2-4)$$

2.6.3 แฟคเตอร์พลังงานสูญเปล่าไดอิเลคทริก

พลังงานสูญเปล่าในไดอิเลคทริกอาจแบ่งได้เป็น 2 ส่วนคือ พลังงานสูญเปล่านี้องจากสภาพนำไฟฟ้าของไดอิเลคทริกที่มีค่าความต้านทานไม่ถึงอนันต์ และอีกส่วนหนึ่งเป็นพลังงานสูญเปล่านี้องจากไปลาไรเซร์ชั่นของไดอิเลคทริก ซึ่งจัดเป็นพลังงานสูญเปล่าทางกลไฟฟ้า เพราะไม่เกิดขึ้นไดอิเลคทริกจะต้องมีการกลับขั้วไปมาตามการเปลี่ยนแปลงของสนามไฟฟ้า เช่นแรงดันกระแสลับ

2.6.4 ความคงทนต่อแรงดันไฟฟ้าของไดอิเลคทริก

ความคงทนต่อแรงดันไฟฟ้าของฉนวน หมายถึงค่าความเครียดสนามไฟฟ้า(Electrical field stress) สูงสุดที่ฉนวนนั้นสามารถอยู่ได้ โดยไม่เกิดการเสียหายหรือเบรกดาวน์ หรือทำให้ฉนวนเสื่อมสภาพ ซึ่งมีหน่วยเป็นค่าแรงดันต่อหน่วยความหนาของฉนวนหรือระยะห่างระหว่างอิเลคโทรด ความเครียดของสนามไฟฟ้าที่ใช้กำหนดค่าความคงทนต่อแรงดันไฟฟ้าของฉนวน จะหาจากสนามไฟฟ้าที่สม่ำเสมอ คือเป็นสนามไฟฟาระหว่างอิเลคโทรดที่มีแผ่นเป็นระนาบ



ภาพที่ 2-7 อิเลคโทรดที่มีสนามไฟฟ้าแบบสม่ำเสมอ

โดยที่

$$E = U/d \quad (2-5)$$

เมื่อ

- U คือ แรงดันไฟฟ้าที่ป้อนเข้าไประหว่างอิเลคโทรด
- D คือ ระยะห่างระหว่างอิเลคโทรด
- E คือ ความเครียดสนามไฟฟ้า

ค่าความคงทนต่อแรงดันไฟฟ้าของไดอิเลคตริกจะขึ้นอยู่กับชนิดของสารที่มีโครงสร้างทางเคมีและพิสิกส์ที่ต่างกัน สารประเภทที่มีโครงสร้างเป็นผลึกจะเกิดการเบรกรดาน์ตามแนวที่มีการยืดเหยียบระหว่างโมเลกุลน้อยที่สุด ซึ่งมักสังเกตเห็นว่าร่องรอยของการเกิดเบรกรดาน์ในฉนวนจะไม่เป็นแนวเส้นตรง อย่างไรก็ตามฉนวนเหลวอาจมีค่าแรงดันเบรกรดาน์ต่ำลงหากมีสิ่งแปลงปลอมเจือปนอยู่ในฉนวนเหลว

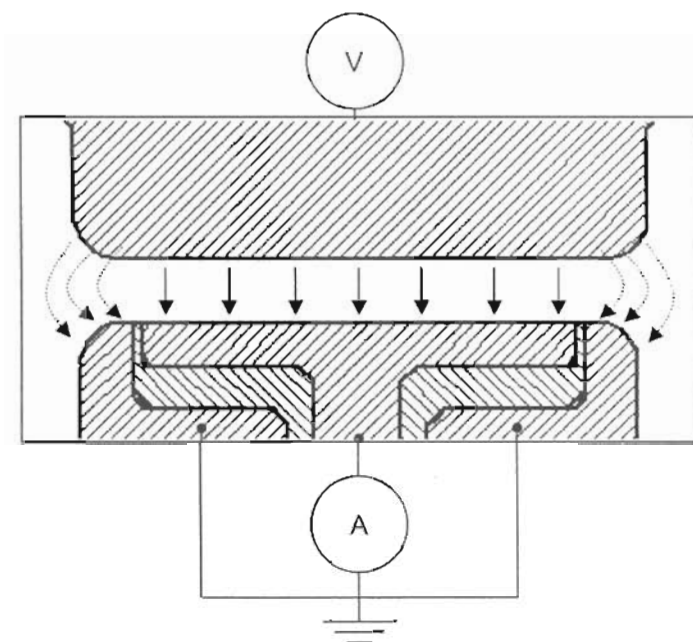
2.7 อิเลคโทรดชนิด 3 อิเลคโทรด

อิเลคโทรดชนิด 3 อิเลคโทรด เป็นอิเลคโทรดอย่างง่าย ที่มีลักษณะสนามไฟฟ้าที่สม่ำเสมอ 适合ในการคำนวณหาค่าความด้านท่าน้ำเพาช์ของฉนวน ซึ่งอิเลคโทรดชนิดนี้จะประกอบด้วย

2.7.1 อิเลคโทรดแรงสูง(High voltage electrode) อิเลคโทรดนี้จะเป็นอิเลคโทรดส่วนที่ได้รับแรงดันไฟฟ้าที่จ่ายเข้าไปในฉนวนเหลวเพื่อวัดค่าต่างๆ

2.7.2 อิเลคโทรดวัด(Measuring electrode) จะเป็นอิเลคโทรดที่ถูกสร้างขึ้น โดยควบคุมขนาดของพื้นที่หน้าตัด และไม่มีการลบมุมหรือขอบเพื่อให้สนามไฟฟ้าที่ไหลผ่านฉนวนเหลวมีลักษณะสม่ำเสมอมากที่สุด

2.7.3 วงแหวนการ์ด(Guard ring) จะมีลักษณะเป็นวงโคนักที่มีขอบนอกเป็นรัศมีโค้งเพื่อป้องกันสนามไฟฟ้าที่กัดเข้าสู่อิเลคโทรดวัดและทำให้สนามไฟฟ้าที่อยู่บริเวณอิเลคโทรดวัดมีความสม่ำเสมอ

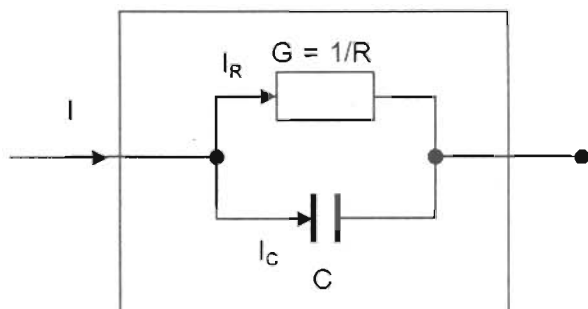


ภาพที่ 2-8 อิเลคโทรดชนิด 3 อิเลคโทรด

บทที่ 3

อุปกรณ์และวิธีการวิจัย

ในงานวิจัยนี้มีวัตถุประสงค์ในการศึกษาความสัมพันธ์ระหว่างค่าความด้านท่านทางไฟฟ้าของน้ำมันหล่อลื่นและชนิดของสิ่งสกปรกที่ปนเปื้อนในน้ำมันหล่อลื่นโดยวิธีการให้แรงดันไฟฟ้ากระแสสลับแก่อุปกรณ์ในการทดสอบแล้ววัดปริมาณกระแสไฟฟ้าที่เกิดขึ้น ซึ่งเมื่อเกิดการปนเปื้อนในน้ำมันหล่อลื่นแล้วสามารถสังผผลต่อกุณสมบัติทางไฟฟ้าได้ 2 ประการคือ ทำให้ค่าความเป็นประจุไฟฟ้าเปลี่ยนแปลง หรือทำให้ค่าความนำไฟฟ้าเปลี่ยนแปลงดังภาพที่ 3-1



ภาพที่ 3-1 วงจรแสดงลักษณะการเกิดกระแสไฟฟ้า 2 ชนิดเมื่อจ่ายแรงดันไฟฟ้ากระแสสลับ

เมื่อมีการจ่ายแรงดันไฟฟ้ากระแสสลับเข้าสู่ระบบพบว่า

$$I = I_R + I_C \quad (3-1)$$

โดยที่

$$I_R \text{ (Conduction Current)} = V/R \quad (3-2)$$

$$I_C \text{ (Displacement Current)} = C dv/dt \quad (3-3)$$

เมื่อ

V = แรงดันไฟฟ้าที่จ่ายเข้าสู่ระบบ

R = ค่าความด้านทางของระบบ

C = ค่าความจุไฟฟ้าของระบบ

ดังนั้นจะทำการทดลองเพื่อทดสอบว่าสารปนเปื้อนแต่ละชนิดส่งผลต่อการเปลี่ยนแปลงของคุณสมบัติทางไฟฟ้าในลักษณะใดบ้าง

3.1 ขั้นตอนในการวิจัย

3.1.1 ออกแบบและสร้างอุปกรณ์ในการทดสอบ (test cell) เพื่อใช้ในการทดลอง โดยอิเลคโทรดที่ใช้เป็นอิเลคโทรดชนิด 3 อิเลคโทรด ซึ่งประกอบด้วยอิเลคโทรดแรงสูง (high voltage electrode) อิเลคโทรดวัด(measuring electrode) และวงแหวนการ์ด(guard ring) ทั้งหมดทำจากสแตนเลสเกรด 316 โดยมีจำนวนทำจากเทฟลอนความหนา 1 ม.ม. กันระหว่าง อิเลคโทรดวัด กับวงแหวนการ์ด ตัวเรือนของอุปกรณ์ทดสอบทำจากอะคริลิกใส และด้านบนของ ตัวเรือนมีฝาปิดซึ่งติดตั้งมอเตอร์แม่เหล็กไฟฟ้ากระแสตรงขนาด 24 โวลต์ มีความเร็วรอบ 4500 รอบต่อนาที



ภาพที่ 3-2 Test cell ที่ใช้ในการทดลอง

3.1.2 เตรียมผงคาร์บอน(carbon black) และผงโลหะสำหรับการทดลอง
ทำการร่อนผงคาร์บอนและผงโลหะด้วยเครื่องร่อนแยกขนาด(Sieve test machine) ซึ่ง สามารถร่อนแยกผงคาร์บอน (carbon black) และผงโลหะที่มีขนาดเล็กกว่า 63 ไมครอนออกมา ได้ แล้วนำผงคาร์บอน (carbon black) และผงโลหะขนาดเล็กกว่า 63 ไมครอนที่ได้ไปชั่ง น้ำหนักและบรรจุใส่ภาชนะที่เตรียมไว้ โดยใช้ปริมาณของผงคาร์บอน (carbon black) และผง โลหะขนาดเล็กกว่า 63 ไมครอนประมาณ 0.1 กรัมต่อภาชนะบรรจุ



ภาพที่ 3-3 Sieve test machine



ภาพที่ 3-4 (a) ผงคาร์บอนและ (b) ผงโลหะขนาดเล็กกว่า 63 ไมครอนที่เตรียมสำหรับทดลอง

3.1.3 เตรียมน้ำมัน เพื่อทำการทดสอบ

โดยนำน้ำมันสะอาด(ยังไม่มีการเจือปนสิ่งสกปรกที่เตรียมไว้ลงไป) ลงใส่บีกเกอร์ให้ได้ปริมาตร 500 มล. ทำการวนน้ำมันเป็นเวลา 3 นาที จากนั้นนำไปทำการทดสอบหาค่าทางไฟฟ้าต่างๆ และเมื่อทำการทดสอบจนครบ จะนำน้ำมันใหม่ที่ทดสอบแล้วมาผสมสิ่งสกปรกที่เตรียมไว้ แล้วนำไปทดสอบหาค่าทางไฟฟ้าต่างๆ ทำซ้ำจนครบตามปริมาณการเจือปนของสิ่งสกปรกแต่ละชนิด



ภาพที่ 3-5 การเตรียมน้ำมันก่อนการทดสอบ

3.1.4 ทำการทดสอบหาค่าความจุไฟฟ้า (Capacitance)

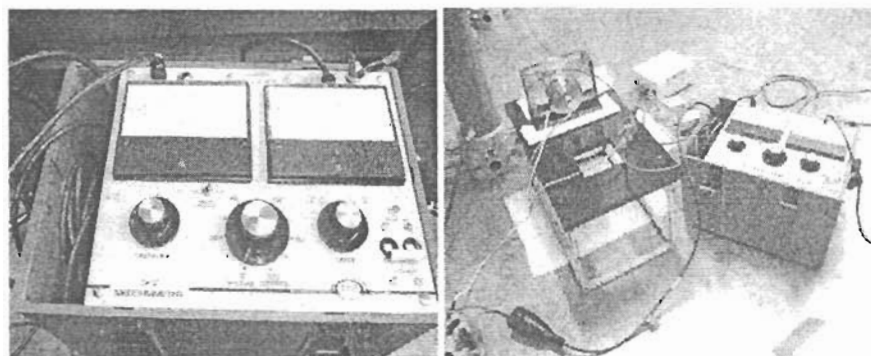
นำน้ำมันที่เตรียมไว้มาเทลงใน test cell และทำการวนน้ำมันเป็นเวลา 3 นาที แล้วจึงทำการทดสอบหาค่าความจุไฟฟ้าด้วยเครื่องวัดค่าความจุไฟฟ้า RCL meter (Fluke PM 6304) โดยทำการทดสอบที่ความถี่ 100 กิโล赫ertz และจ่ายแรงดันกระแสสลับ(source voltage) ระดับปกติ (normal level) ขนาด 1 โวลต์ (V. ac rms.) และทำการอ่านและบันทึกค่าที่วัดได้



ภาพที่ 3-6 การวัดค่าความเป็นประจุไฟฟ้าด้วย RCL meter (Fluke PM6304)

3.1.5 ทำการทดสอบหาค่าความดันทานทางไฟฟ้าด้วยเมกกะโอห์มมิเตอร์

ทำการกวนน้ำมันไว้ 3 นาทีก่อนทำการทดสอบหาค่าความดันทานทางไฟฟ้าโดยดังค่าแรงดันทดสอบไว้ที่ 5 กิโลโวลต์ ปรับอัตราขยายของการอ่านค่าเมกกะโอห์มไว้ที่ 1000 เท่า

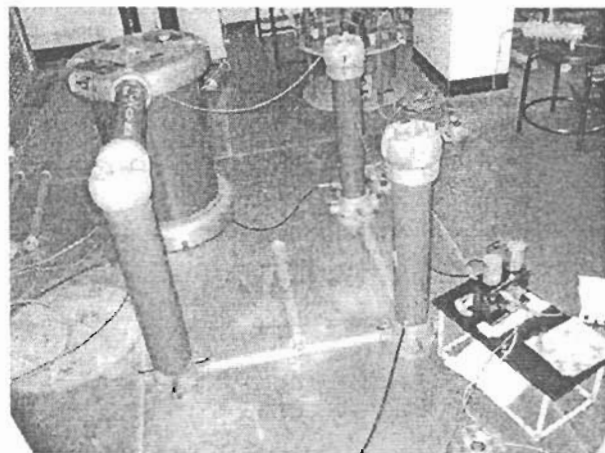


ภาพที่ 3-7 (a) เมกกะโอห์มมิเตอร์ที่ใช้ (b) การวัดค่าความดันทานทางไฟฟ้า

3.1.6 ทำการทดสอบหารูปแบบกระแสไฟฟ้ารั่วไหล

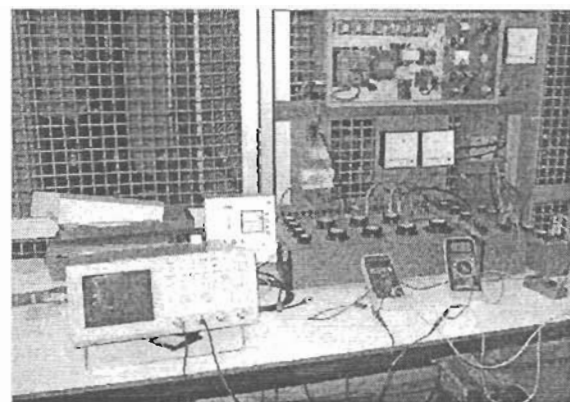
ทำการกวนน้ำมันไว้ 3 นาทีก่อนทำการปรับค่าการจ่ายแรงดันไฟฟ้ากระแสตรงจนได้แรงดันขนาด 2 กิโลโวลต์ภายในเวลา 1 นาที แล้วทำการอ่านและบันทึกค่าปริมาณกระแสไฟฟ้าที่วัดได้

3.1.7 ทำการทดสอบหาค่าปริมาณกระแสไฟฟ้าซึ่งจากการเคลื่อนที่ของประจุไฟฟ้าโดยการจ่ายแรงดันไฟฟ้ากระแสสลับขนาด 0.25, 0.5, 0.75, 1.00, 1.25, 1.5, 1.75 และ 2 กิโลโวลต์ ตามลำดับ

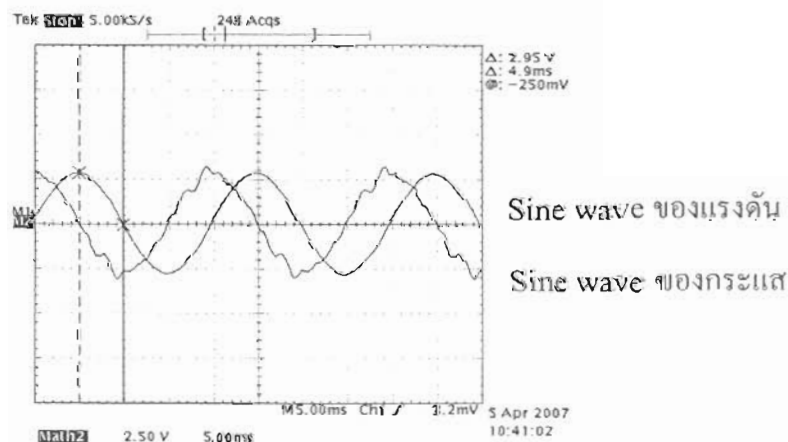


ภาพที่ 3-8 การทดสอบหาค่าปริมาณกระแสไฟฟ้าซึ่งเกิดจากการเคลื่อนที่ของประจุไฟฟ้า

3.1.8 ทำการทดสอบหาค่ามุมเฟสที่เปลี่ยนแปลงไป(phase shift) ด้วยออสซิลโลสโคป (oscilloscope) โดยทดสอบด้วยแรงดันไฟฟ้ากระแสสลับขนาด 2 กิโลโวลต์



ภาพที่ 3-9 การทดสอบหาค่ามุมเฟสที่เปลี่ยนไป

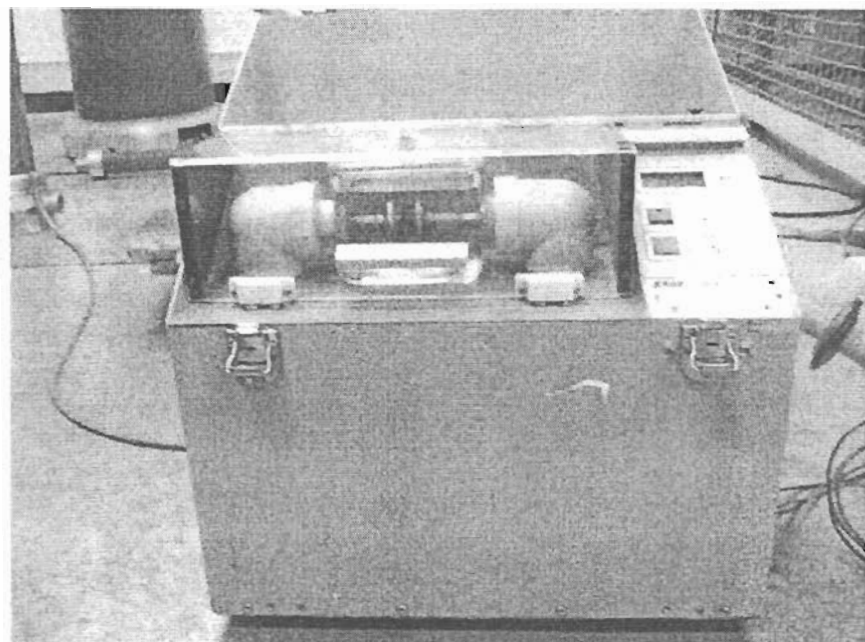


ภาพที่ 3-10 ตัวอย่างการวัดค่ามุมเฟสที่เปลี่ยนไปบนออสซิลโลสโคป

โดยปกติแล้วเมื่อทำการจ่ายแรงดันไฟฟ้ากระแสสลับเข้าสู่ระบบ จะพบว่ารูปคลื่น sine wave ของกระแสจะนำหน้ารูปคลื่น sine wave ของแรงดันอยู่ 90 องศาหรือ 5 millisecond แต่เมื่อค่าความเป็นจนวน หรือค่าประจุไฟฟ้าเปลี่ยนแปลงไปทำให้ phase shift ลดลง

3.1.9 ทำการทดสอบหาค่าแรงดันเบรกดาวน์ (breakdown voltage)

เมื่อทดสอบหาค่ามุ่งเพสที่เปลี่ยนไปเร็วๆ สิ้น ทำการถ่ายน้ำมันออกจากอุปกรณ์ในการทดสอบ ทำการกวนผสมน้ำมันเป็นเวลา 3 นาที นำไป Rinse ใส่อุปกรณ์สำหรับวัดค่าแรงดันเบรกดาวน์ และทำการทดสอบหาค่าแรงดันเบรกดาวน์



ภาพที่ 3-11 การทดสอบหาค่าแรงดันเบรกดาวน์

บทที่ 4

ผลการทดสอบ

จากการทดสอบคุณสมบัติทางไฟฟ้าของน้ำมันหล่อลื่นสะอาด และน้ำมันหล่อลื่นที่ปนเปื้อนสิ่งสกปรกชนิดต่างๆ ซึ่งประกอบด้วย ผงคาร์บอน(Carbon black) ในอัตราส่วน 0.00%, 0.025%, 0.050%, 0.075% และ 0.1% โดยประมาณ (ในงานวิจัยนี้จะใช้ค่าอยู่ 0%C, 0.025%C, 0.050%C, 0.075% และ 0.1%C) ผงโลหะจะผสมในอัตราส่วน 0%, 0.025%, 0.050% และ 0.75% โดยประมาณ (ในงานวิจัยนี้จะใช้ค่าอยู่ 0%M, 0.025%M, 0.050%M, 0.75%M) และน้ำจะผสมในอัตราส่วน 0%, 0.050%, 0.10% และ 0.15% (ใช้ค่าอยู่ 0%W, 0.050%W, 0.1%W, 0.15%W แทนส่วนผสมของน้ำ) โดยมีวัตถุประสงค์เพื่อการศึกษา ความสัมพันธ์ของค่าความด้านทานทางไฟฟ้าของน้ำมันหล่อลื่นและชนิดของสิ่งสกปรกที่ปนเปื้อนและสามารถพัฒนาไปสู่ทางเลือกใหม่ในการบำรุงรักษาน้ำมันหล่อลื่นแบบเฝ้าระวัง ซึ่งจากการที่ได้ทำการทดลองและบันทึกผลนั้นทำให้ได้ผลการทดลองดังต่อไปนี้

4.1 ผลของสิ่งสกปรกที่มีค่าความจุไฟฟ้าของน้ำมันหล่อลื่น

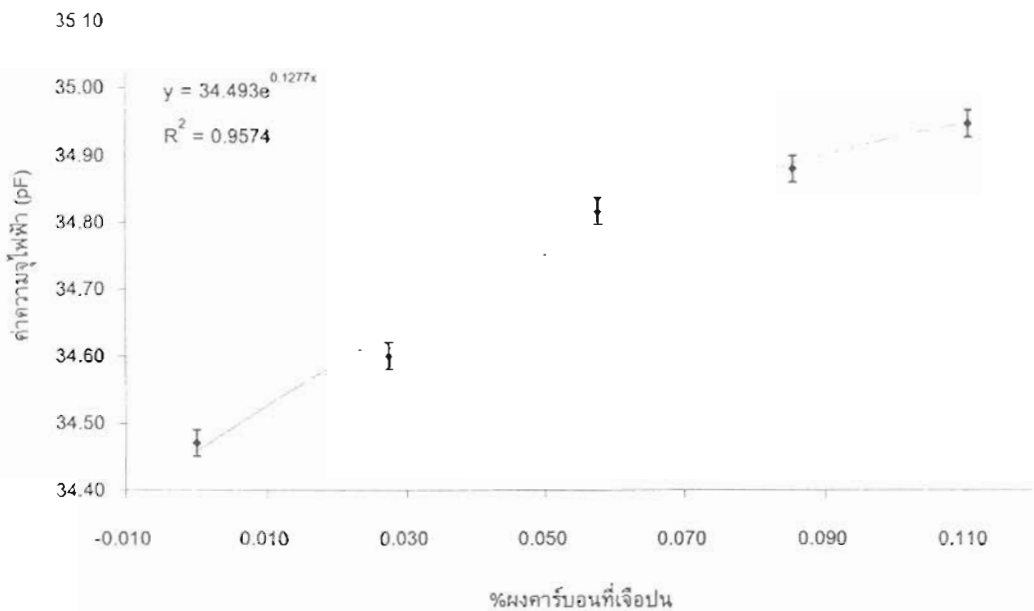
4.1.1 ผลของผงคาร์บอนขนาดเล็กกว่า 63 ไมครอนที่ปนเปื้อนในน้ำมันหล่อลื่น

ภายหลังการทดสอบหาค่าความจุไฟฟ้าของน้ำมันหล่อลื่นที่ปนเปื้อนด้วยผงคาร์บอน ขนาดเล็กกว่า 63 ไมครอน จำนวนการทดสอบ 3 ครั้ง มีค่าดังตารางที่ 4-1

ตารางที่ 4-1 ค่าเฉลี่ยและค่าเบี่ยงเบนมาตรฐานของผลการทดสอบหาค่าความจุไฟฟ้าของน้ำมันที่ปนเปื้อนด้วยผงคาร์บอนขนาดเล็กกว่า 63 ไมครอน

น้ำมันที่ทดสอบ	ค่าความจุไฟฟ้าเฉลี่ยจากการวัด ด้วยแรงดัน 1V ความถี่ 100 kHz.(pF)	ค่าเบี่ยงเบน มาตรฐาน
0%C	34.47	0.020
0.025%C	34.60	0.010
0.050%C	34.82	0.006
0.075%C	34.88	0.010
0.1%C	34.95	0.015

เมื่อนำค่าที่ได้จากตารางที่ 4-1 มาสร้างกราฟแสดงความสัมพันธ์ระหว่างอัตราส่วนการปนเปื้อนของผงкар์บอนและค่าความจุไฟฟ้าได้ดังภาพที่ 4-1



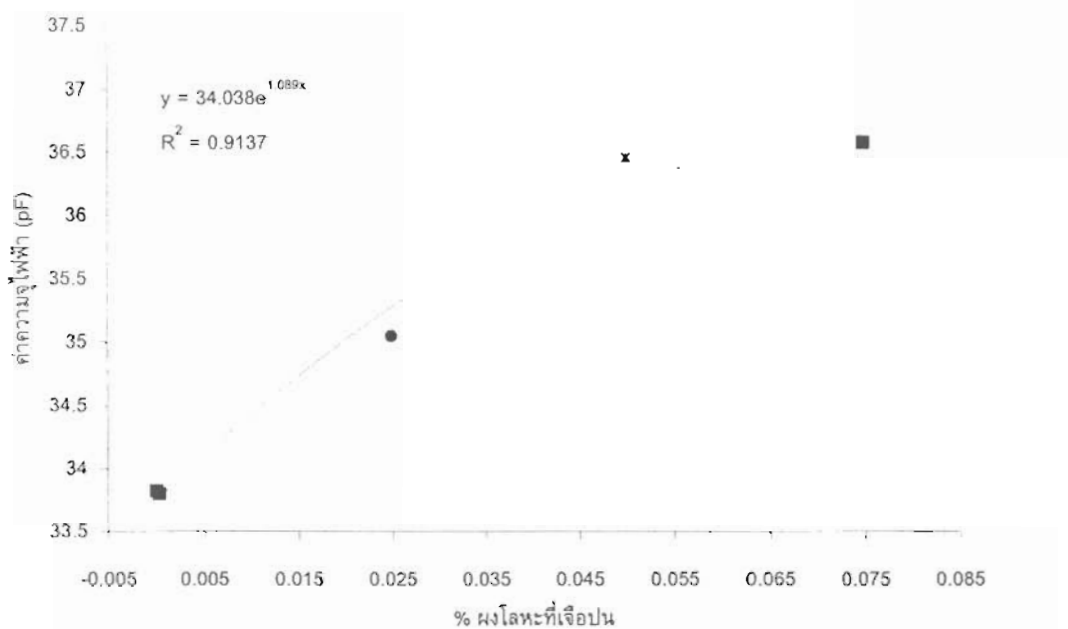
ภาพที่ 4-1 ค่าเฉลี่ยและส่วนเบี่ยงเบนมาตรฐานของผลการทดสอบของค่าความจุไฟฟ้าของน้ำมันที่ปนเปื้อนด้วยผงкар์บอนขนาดเล็กกว่า 63 ไมครอนที่มีเบอร์เซ็นต์การปนด่างๆ

4.1.2 ผลของผงโลหะขนาดเล็กกว่า 63 ไมครอน ที่ปนเปื้อนในน้ำมันหล่อลื่น ภายหลังการทดสอบหาค่าความจุไฟฟ้าของน้ำมันหล่อลื่นที่ปนเปื้อนด้วยผงโลหะขนาดเล็กกว่า 63 ไมครอน จำนวนการทดสอบ 3 ครั้ง มีค่าดังตารางที่ 4-2

ตารางที่ 4-2 ค่าเฉลี่ยและค่าเบี่ยงเบนมาตรฐานของผลการทดสอบหาค่าความจุไฟฟ้าของน้ำมันที่ปนเปื้อนด้วยผงโลหะขนาดเล็กกว่า 63 ไมครอน

น้ำมันที่ทดสอบ	ค่าความจุไฟฟ้าเฉลี่ยจากการวัดด้วยแรงดัน 1V ความถี่ 100 kHz.(pF)	ค่าเบี่ยงเบนมาตรฐาน
0%M	33.83	0.010
0.025%M	35.05	0.010
0.050%M	36.46	0.010
0.075%M	36.56	0.010

เมื่อนำค่าที่ได้จากการที่ 4-2 มาสร้างกราฟแสดงความสัมพันธ์ระหว่างอัตราส่วนการปนเปื้อนของผงโลหะและค่าความจุไฟฟ้าได้ดังกราฟที่ 4-2



กราฟที่ 4-2 ค่าเฉลี่ยและส่วนเบี่ยงเบนมาตรฐานของผลการทดสอบของค่าความจุไฟฟ้าของน้ำมันที่ปนเปื้อนด้วยผงโลหะขนาดเล็กกว่า 63 ไมครอนที่มีปรอร์เซ็นต์การเจือปนต่างๆ

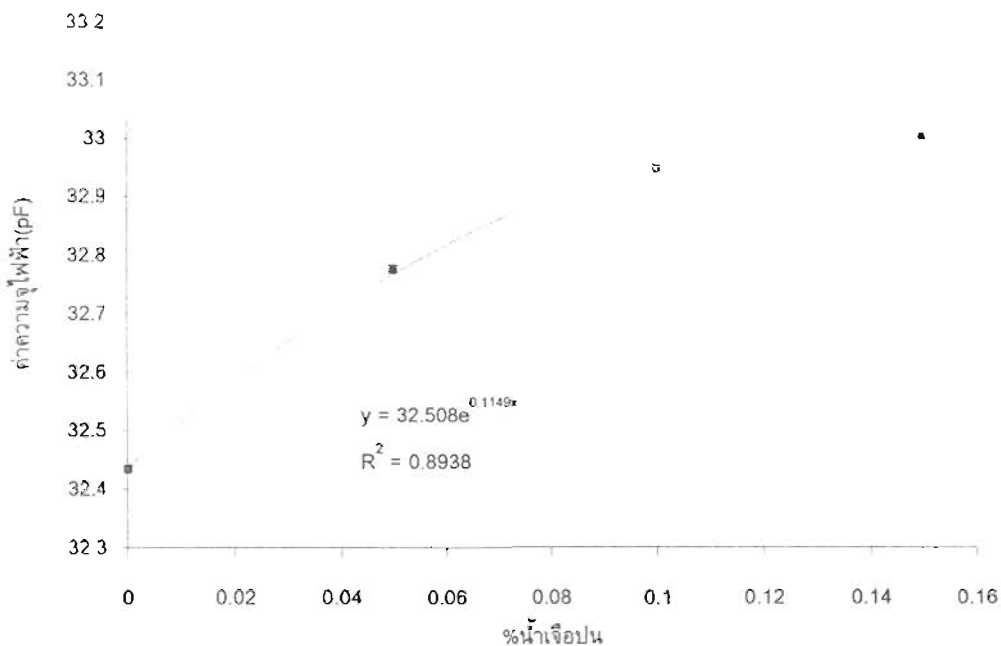
4.1.3 ผลของน้ำที่ปนเปื้อนในน้ำมันหล่อลื่น

ภายหลังการทดสอบหาค่าความจุไฟฟ้าของน้ำมันหล่อลื่นที่ปนเปื้อนด้วยน้ำ จำนวนการทดสอบ 3 ครั้ง มีค่าดังตารางที่ 4-3

ตารางที่ 4-3 ค่าเฉลี่ยและค่าเบี่ยงเบนมาตรฐานของผลการทดสอบหาค่าความจุไฟฟ้าของน้ำมันที่ปนเปื้อนด้วยน้ำ

น้ำมันที่ทดสอบ	ค่าความจุไฟฟ้าเฉลี่ยจากการวัดด้วยแรงดัน 1V ความถี่ 100 kHz.(pF)	ค่าเบี่ยงเบนมาตรฐาน
0%W	32.44	0.006
0.050%W	32.78	0.006
0.1%W	32.95	0.006
0.15%C	33.00	0.006

เมื่อนำค่าที่ได้จากการที่ 4-3 มาสร้างกราฟแสดงความสัมพันธ์ระหว่างอัตราส่วนการปนเปื้อนของน้ำและค่าความจุไฟฟ้าได้ดังกราฟที่ 4-3



ภาพที่ 4-3 ค่าเฉลี่ยและส่วนเบี่ยงเบนมาตรฐานของผลการทดสอบของค่าความจุไฟฟ้าของน้ำมันที่ปนเปื้อนด้วยน้ำที่มีปอร์เชินต์การเจือปนต่างๆ

4.2 ผลของสิ่งสกปรกที่มีต่อค่าความด้านทานทางไฟฟ้าของน้ำมันหล่อลื่น

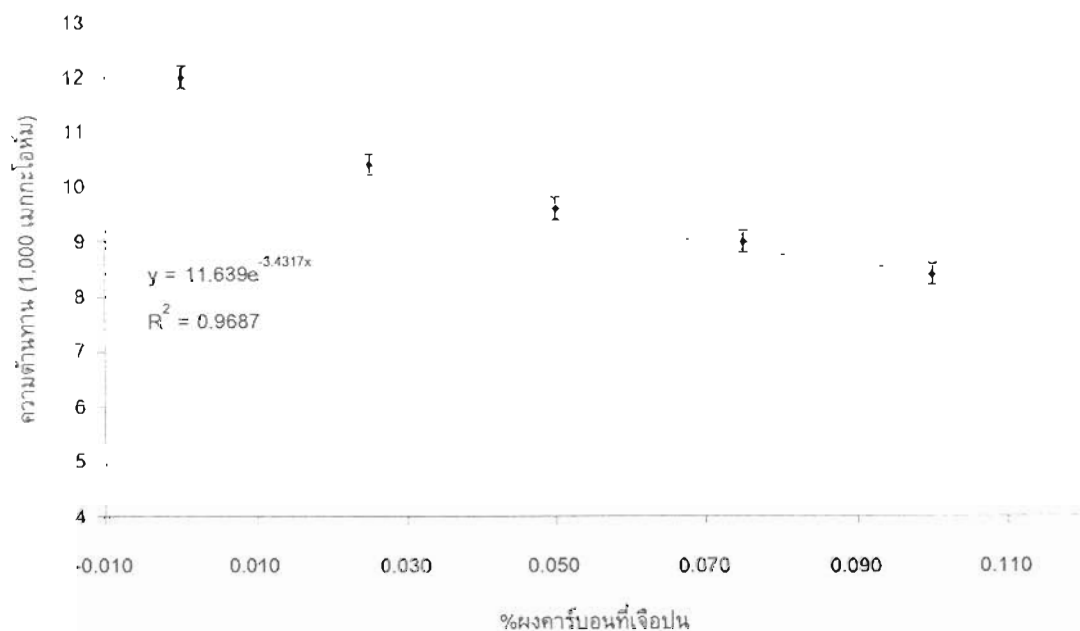
4.2.1 ผลของผงคาร์บอนขนาดเล็กกว่า 63 ไมครอนที่ปนเปื้อนในน้ำมันหล่อลื่น

ภายหลังการทดสอบหาค่าความด้านทานทางไฟฟ้าของน้ำมันหล่อลื่นที่ปนเปื้อนด้วยผงคาร์บอนขนาดเล็กกว่า 63 ไมครอน จำนวนการทดสอบ 3 ครั้ง มีค่าดังตารางที่ 4-4

ตารางที่ 4-4 ค่าเฉลี่ยของผลการทดสอบค่าความด้านทานทางไฟฟ้าของน้ำมันที่ปนเปื้อนด้วยผงคาร์บอนขนาดเล็กกว่า 63 ไมครอน

น้ำมันที่ทดสอบ	ค่าความด้านทานทางไฟฟ้าเฉลี่ย ($10^3 M\Omega$)	ค่าเบี่ยงเบนมาตรฐาน
0%C	12	0.2
0.025%C	10.4	0.2
0.050%C	9.6	0.2
0.075%C	9	0.2
0.1%C	8.4	0.2

เมื่อนำค่าที่ได้จากการที่ 4-4 มาสร้างกราฟแสดงความสัมพันธ์ระหว่างอัตราส่วนการปนเปื้อนของผงคาร์บอนและค่าความด้านทานทางไฟฟ้าได้ดังกราฟที่ 4-4



ภาพที่ 4-4 ค่าเฉลี่ยและส่วนเบี่ยงเบนมาตรฐานของผลการทดสอบของค่าความด้านทานทางไฟฟ้าของน้ำมันที่ปนเปื้อนด้วยผงคาร์บอนขนาดเล็กกว่า 63 ไมครอนที่มีเปอร์เซ็นต์การเจือปนต่างๆ

4.2.2 ผลของผงโลหะขนาดเล็กกว่า 63 ไมครอนที่ปนเปื้อนในน้ำมันหล่อลื่น

ภายหลังการทดสอบหาค่าความด้านทานทางไฟฟ้าของน้ำมันหล่อลื่นที่ปนเปื้อนด้วยผงโลหะขนาดเล็กกว่า 63 ไมครอน พบร่วมกับไม่สามารถวัดค่าที่แน่นอนได้เนื่องจากมีการเบรคดาวน์ของน้ำมันที่ใช้ในการทดสอบ

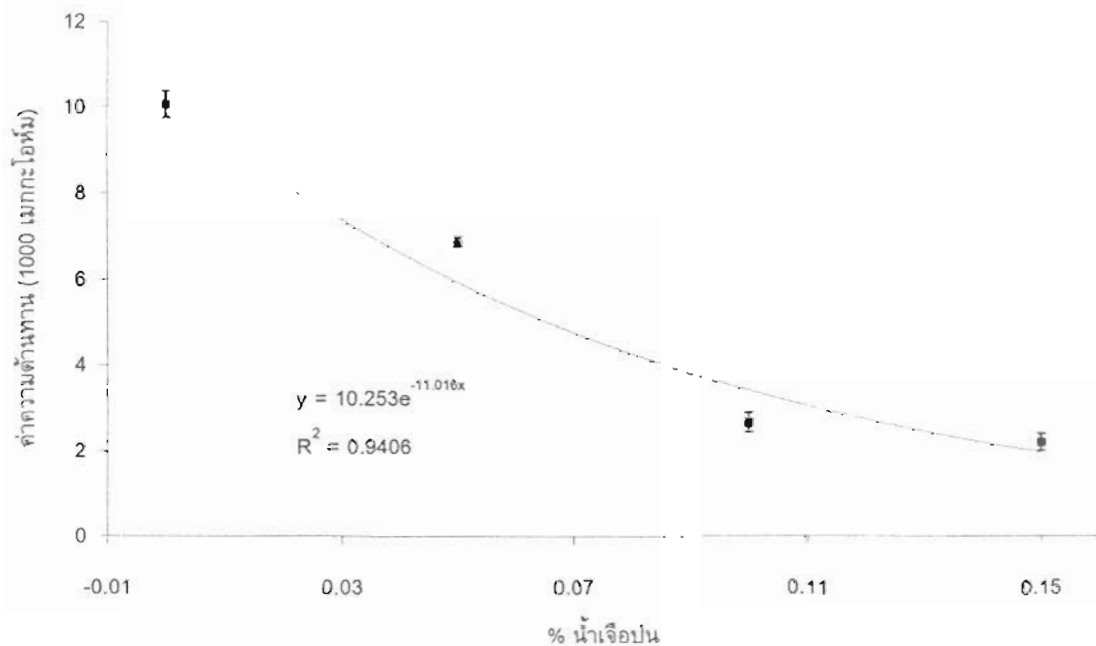
4.2.3 ผลของน้ำที่ปนเปื้อนในน้ำมันหล่อลื่น

ภายหลังการทดสอบหาค่าความด้านทานทางไฟฟ้าของน้ำมันหล่อลื่นที่ปนเปื้อนด้วยน้ำจำนวน 3 ครั้ง ได้ผลการทดลองดังตารางที่ 4-5

ตารางที่ 4-5 ค่าเฉลี่ยและค่าเบี่ยงเบนมาตรฐานของผลการทดสอบหาค่าความด้านทานทางไฟฟ้าของน้ำมันที่ปั้นเป็นฉีดด้วยน้ำ

น้ำมันที่ทดสอบ	ค่าความด้านทานทางไฟฟ้าเฉลี่ยจากการวัดด้วยแรงดัน 5 kV ($10^3 \text{ M}\Omega$)	ค่าเบี่ยงเบนมาตรฐาน
0%W	10.07	0.306
0.050%W	6.87	0.116
0.1%W	2.67	0.231
0.15%W	2.20	0.200

เมื่อนำค่าที่ได้จากการที่ 4-5 มาสร้างกราฟแสดงความสัมพันธ์ระหว่างอัตราส่วนการปั้นเป็นฉีดด้วยน้ำและค่าความด้านทานทางไฟฟ้าได้ดังกราฟที่ 4-5



ภาพที่ 4-5 ค่าเฉลี่ยและส่วนเบี่ยงเบนมาตรฐานของผลการทดสอบของค่าความด้านทานทางไฟฟ้าของน้ำมันหล่อลื่นที่ปั้นเป็นฉีดด้วยน้ำที่มีเบอร์เซ็นต์การเจือปั้นต่างๆ

4.3 ผลของสิ่งสกปรกที่มีต่อปริมาณกระแสไฟฟ้าที่วัดได้ของน้ำมันหล่อลื่นที่ป่นเปื้อนด้วยสิ่งสกปรกในระดับต่างๆ เมื่อจ่ายแรงดันไฟฟ้ากระแสตรงขนาด 2 กิโลโวลต์

จากการทดสอบหาความสัมพันธ์ของผลของสิ่งสกปรกที่มีต่อปริมาณกระแสไฟฟ้าที่วัดได้ของน้ำมันหล่อลื่นที่ป่นเปื้อนด้วยสิ่งสกปรกในระดับต่างๆ เมื่อจ่ายแรงดันไฟฟ้ากระแสตรงขนาด 2 กิโลโวลต์ ปรากฏว่าปริมาณกระแสไฟฟ้าที่วัดได้มีการเปลี่ยนแปลงอยู่ในช่วงค่าที่น้อยมากคือ 0-0.2 ในครอเมปี โดยค่าดังกล่าวจะปรับขึ้นลงอยู่เกือบตลอดเวลา ซึ่งอาจกล่าวได้ว่าไม่พบการเปลี่ยนแปลงของปริมาณกระแสไฟฟ้าที่วัดได้

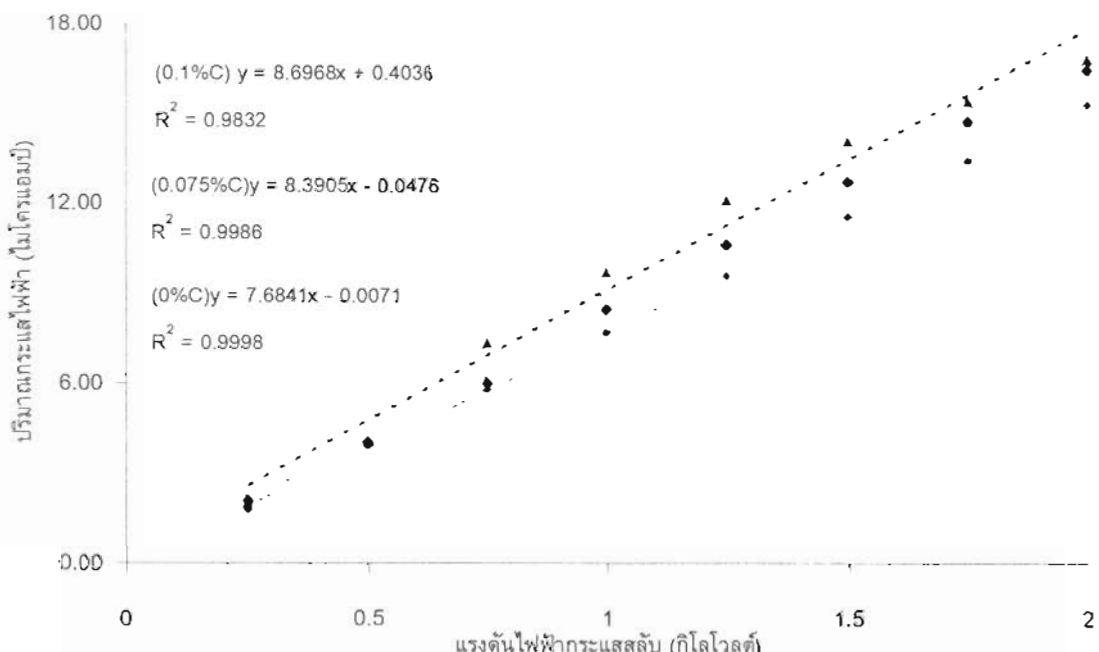
4.4 ผลของสิ่งสกปรกที่มีต่อความสัมพันธ์ของแรงดันไฟฟ้ากระแสสลับและปริมาณกระแสไฟฟ้าที่วัดได้

จากที่ได้ทำการทดสอบมาพบว่าปัจจัยที่ทำให้ความสัมพันธ์ของแรงดันไฟฟ้ากระแสสลับและปริมาณกระแสไฟฟ้าที่วัดได้และพบความแตกต่างมีเพียงปัจจัยเดียวคือ ผงคาร์บอนขนาดเล็กกว่า 63 ไมครอน ดังแสดงในตารางที่ 4-6

ตารางที่ 4-6 ค่าเฉลี่ยและค่าเบี่ยงเบนมาตรฐานของผลการทดสอบหาความสัมพันธ์ของแรงดันไฟฟ้ากระแสสลับและปริมาณกระแสไฟฟ้าที่วัดได้ที่ป่นเปื้อนด้วยผงคาร์บอนขนาดเล็กกว่า 63 ไมครอนที่เปอร์เซ็นต์การป่นเปื้อนต่างๆ

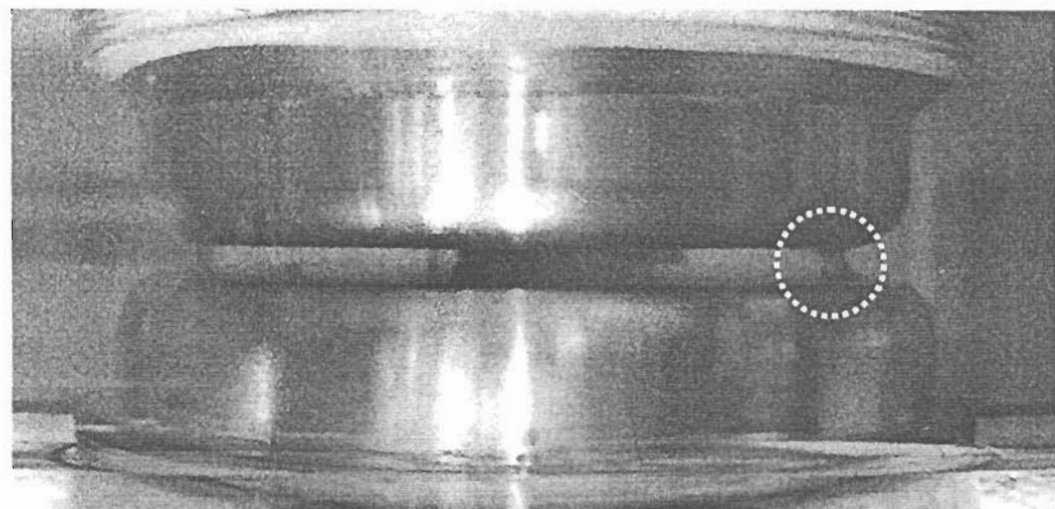
ทดสอบ น้ำมันที่	กระแสที่วัดได้ (ไมโครแอมป์)								
	V(kV)	0.25	0.5	0.75	1.0	1.25	1.5	1.75	2.0
0%C	μ	1.80	3.90	5.80	7.70	9.60	11.57	13.43	15.30
	σ	0.00	0.10	0.00	0.00	0.00	0.12	0.12	0.10
0.025%C	μ	1.87	3.93	5.93	7.90	9.70	11.67	13.63	15.60
	σ	0.06	0.06	0.06	0.10	0.10	0.06	0.15	0.20
0.050%C	μ	1.97	3.87	5.83	7.77	9.70	11.70	13.53	15.67
	σ	0.06	0.06	0.06	0.06	0.10	0.10	0.06	0.15
0.075%C	μ	2.10	4.03	6.00	8.47	10.63	12.73	14.73	16.43
	σ	0.10	0.06	0.00	0.06	0.06	0.15	0.12	0.06
0.1%C	μ	2.03	4.07	7.33	9.70	12.10	14.07	15.40	16.80
	σ	0.06	0.12	0.29	0.10	0.00	0.15	0.17	0.20

เมื่อนำค่าที่ได้จากการที่ 4-6 มาสร้างกราฟแสดงผลการทดสอบหาความสัมพันธ์ของแรงดันไฟฟ้ากระแสสลับและปริมาณกระแสไฟฟ้าที่วัดได้ที่ปั่นเป็นเดียวผังคาร์บอนขนาดเล็กกว่า 63 ไมครอนที่เปอร์เซ็นต์การปนเปื้อน 0% 0.075% และ 0.1% ได้ดังภาพที่ 4-6



ภาพที่ 4-6 ผลของผังคาร์บอนขนาดเล็กกว่า 63 ไมครอนที่มีต่อความสัมพันธ์ของแรงดันไฟฟ้ากระแสสลับและปริมาณกระแสไฟฟ้าที่วัดได้

และเมื่อทำการทดสอบหาความสัมพันธ์ของแรงดันไฟฟ้ากระแสสลับและปริมาณกระแสไฟฟ้าที่วัดได้ของน้ำมันที่ปนเปื้อนด้วยผองโลหะขนาดเล็กกว่า 63 ไมครอน พบร่วมกัน พบว่าเกิดการเบรกดาวน์ขึ้นหลายครั้งในน้ำมันด้วยอย่างที่ใช้ในการทดสอบ ซึ่งเป็นผลมาจากการของโลหะเรียงตัวกันเป็นเส้นสายพานไฟเชื่อมระหว่างอิเลคโทรดดังแสดงในภาพที่ 4-7 โดยบริเวณที่ทำเครื่องหมายวงกลมไว้คือจุดที่มีการเรียงตัวกันของผองโลหะอย่างชัดเจน



ภาพที่ 4-7 การเรียงตัวกันของผงโลหะหว่างอิเลคโทรด

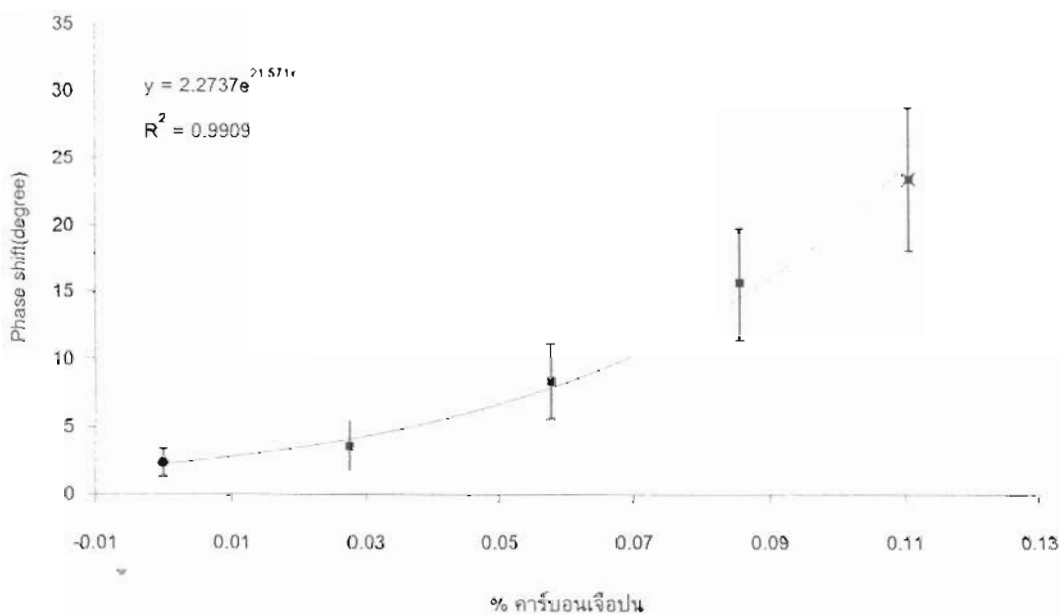
4.5 ผลของสิ่งสกปรกที่มีด่อค่ามุนเฟสที่เปลี่ยนไป

จากการทำการทดสอบพบว่าผงคาร์บอนเป็นเพียงปัจจัยเดียวที่มีความแตกต่างของค่ามุนเฟสที่เปลี่ยนไปที่ทำการทดสอบได้ ดังแสดงในตารางที่ 4-7

ตารางที่ 4-7 ค่าเฉลี่ยและค่าเบี่ยงเบนมาตรฐานของผลของการทดสอบหาค่ามุนเฟสที่เปลี่ยนไป ของน้ำมันที่ป่นเปื้อนด้วยผงคาร์บอนขนาดเล็กกว่า 63 ไมครอนที่เปอร์เซ็นต์การป่นเปื้อนต่างๆ

น้ำมันที่ทดสอบ	Phase shift (ms.)		Phase shift (degree)	
	μ	σ	μ	σ
0%C	4.87	0.058	2.4	1.04
0.025%C	4.80	0.100	3.6	1.8
0.050%C	4.53	0.153	8.4	2.75
0.075%C	4.13	0.231	15.6	4.16
0.1%C	3.70	0.300	23.4	5.40

เมื่อนำค่าที่ได้จากตารางที่ 4-7 มาสร้างกราฟแสดงผลการทดสอบหาความสัมพันธ์ของมุนเฟสที่เปลี่ยนไปที่วัดได้กับเปอร์เซ็นต์การป่นเปื้อนของผงคาร์บอนขนาดเล็กกว่า 63 ไมครอนได้ดังภาพที่ 4-8



ภาพที่ 4-8 ผลของผงคาร์บอนขนาดเล็กกว่า 63 ไมครอนที่มีต่อค่ามุฟเฟสที่เปลี่ยนไป (องศา)

4.6 ผลของสิ่งสกปรกที่มีต่อแรงดันเบรกดาวน์

เมื่อนำน้ำมันทดสอบที่ป่นเปื้อนด้วยสิ่งสกปรกชนิดต่างๆ มาทดสอบด้วยเครื่องทดสอบหานรดันเบรกดาวน์ในของเหลวซึ่งมีการวนน้ำมันให้ป่นเปื้อนด้วยด้วงวนชนิดแม่เหล็ก โดยใช้ระบบแก๊สประหวังอิเลคโทรดขนาด 2.5 มิลลิเมตร ทำให้ไม่สามารถใช้ทดสอบกับน้ำมันที่ป่นเปื้อนด้วยผงโลหะได้ ส่วนผลการทดสอบของน้ำมันที่ป่นเปื้อนด้วยผงคาร์บอนขนาดเล็กกว่า 63 ไมครอน และผลการทดสอบของน้ำมันที่ป่นเปื้อนด้วยน้ำแสดงในตารางที่ 4-8 และ ตารางที่ 4-9 ตามลำดับ

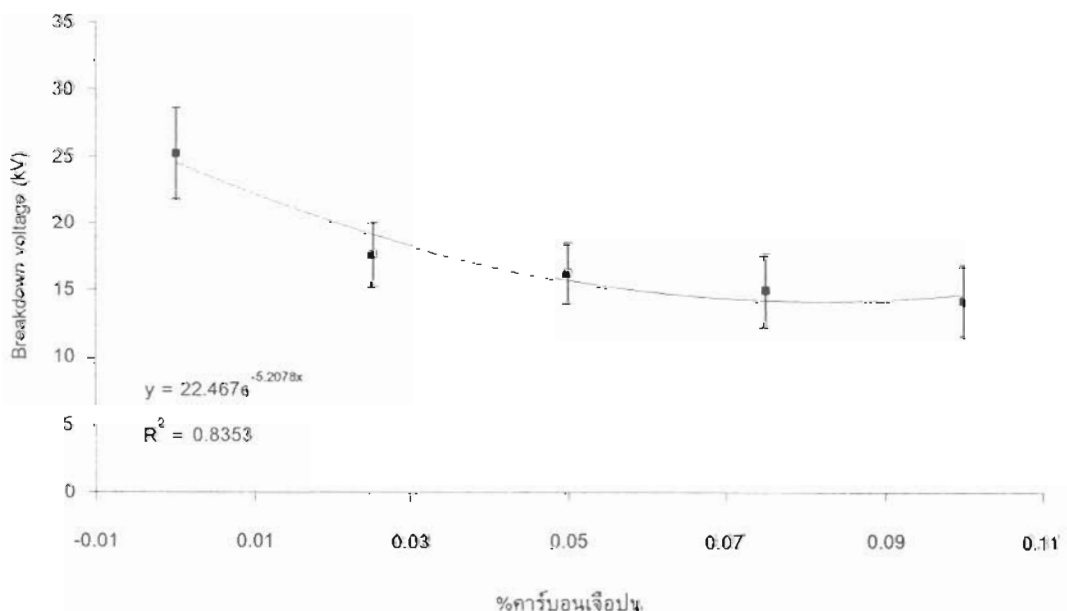
ตารางที่ 4-8 ค่าเฉลี่ยและค่าเบี่ยงเบนมาตรฐานของผลการทดสอบหานรดันเบรกดาวน์ของน้ำมันที่ป่นเปื้อนด้วยผงคาร์บอนขนาดเล็กกว่า 63 ไมครอนที่เปอร์เซ็นต์การป่นเปื้อนต่างๆ

น้ำมันที่ทดสอบ	ค่าเฉลี่ยแรงดันเบรกดาวน์ (kV)	ค่าเบี่ยงเบนมาตรฐาน
0% C	25.21	3.42
0.025% C	17.68	2.37
0.050% C	16.3	2.21
0.075% C	15.03	2.67
0.1% C	14.26	2.63

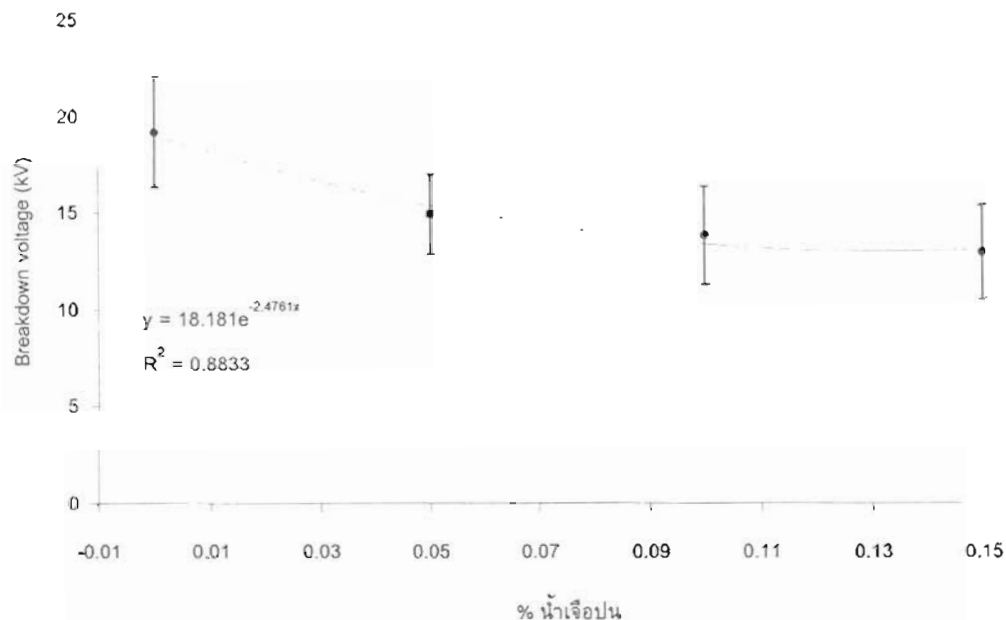
ตารางที่ 4-9 ค่าเฉลี่ยและค่าเบี่ยงเบนมาตรฐานของผลการทดสอบหาแรงดันเบรคดาวน์ของน้ำมันที่ปั่นเป็นปืนด้วยน้ำที่เปอร์เซ็นต์การปนเปื้อนต่างๆ

น้ำมันที่ทดสอบ	ค่าเฉลี่ยแรงดันเบรคดาวน์ (kV)	ค่าเบี่ยงเบนมาตรฐาน
0%W	19.21	2.86
0.050%W	14.06	2.29
0.1%W	13.89	2.56
0.15%W	13.03	2.43

เมื่อนำค่าที่ได้จากการที่ 4-8 และตารางที่ 4-9 มาสร้างกราฟแสดงผลการทดสอบหาความสัมพันธ์ของแรงดันเบรคดาวน์ที่วัดได้กับเปอร์เซ็นต์การปนเปื้อนของพาร์บอนนาตเล็กกว่า 63 ‰ มิครอนได้ดังภาพที่ 4-9 และกราฟแสดงผลการทดสอบหาความสัมพันธ์ของแรงดันเบรคดาวน์ที่วัดได้กับเปอร์เซ็นต์การปนเปื้อนด้วยน้ำได้ดังภาพที่ 4-10



ภาพที่ 4-9 ค่าเฉลี่ยและส่วนเบี่ยงเบนมาตรฐานของผลการทดสอบหาค่าแรงดันเบรคดาวน์ของน้ำมันหล่อลื่นที่ปั่นเป็นปืนด้วยพาร์บอนนาตเล็กกว่า 63 ‰ มิครอนที่มีเปอร์เซ็นต์การเจือปนต่างๆ



ภาพที่ 4-10 ค่าเฉลี่ยและส่วนเบี่ยงเบนมาตรฐานของผลการทดสอบของแรงดันเบรกดาว์ของน้ำมันหล่อลื่นที่ป่นเปื้อนด้วยน้ำที่มีเปอร์เซ็นต์การเจือปนต่างๆ

บทที่ 5

สรุปผลการทดสอบ และข้อเสนอแนะ

5.1 สรุปผลการทดลอง

5.1.1 จากการทดสอบหาค่าความจุไฟฟ้าของน้ำมันหล่อลื่นที่ปั้นเป็นเบื้องพบร่วมกับน้ำมัน ผงโลหะและน้ำ มีการเปลี่ยนแปลงในรูปแบบที่สุดของการปั้นเป็นด้วยผงคาร์บอนคือ 1.4 เปอร์เซ็นต์ ค่าความจุไฟฟ้าเพิ่มขึ้นมากที่สุดของการปั้นเป็นด้วยน้ำคือ 1.7 เปอร์เซ็นต์ ค่าความจุไฟฟ้าเพิ่มขึ้นมากที่สุดของการปั้นเป็นด้วยผงโลหะคือ 8.1 เปอร์เซ็นต์ ทั้งนี้หากพิจารณาในแง่อัตราการเปลี่ยนแปลงของค่าความจุไฟฟ้าเมื่อเทียบกับเบอร์เซ็นต์การเจือปนของสิ่งสกปรก พบว่าผงโลหะมีอัตราการเปลี่ยนแปลงมากที่สุด และการเจือปนของผงคาร์บอนมีอัตราการเปลี่ยนแปลงน้อยที่สุด

5.1.2 จากการทดสอบหาค่าความด้านทานทางไฟฟ้าที่เปลี่ยนแปลงไปเมื่อเจือปนด้วยสิ่งสกปรกนิดต่างๆพบว่า อัตราการเปลี่ยนแปลงของค่าความด้านทานทางไฟฟ้าเมื่อเทียบกับเบอร์เซ็นต์การเจือปนของน้ำมีค่ามากที่สุดโดยเห็นการเปลี่ยนแปลงอย่างชัดเจน (ความด้านทานลดลงประมาณ 36 เปอร์เซ็นต์) เมื่อมีการปั้นเบื้องของน้ำดังแต่ 500 ส่วนล้านส่วน ส่วนผงเหล็กไม่สามารถทำการวัดค่าได้ เนื่องจากมีการเรียงตัวในสนามไฟฟ้าสูงทำให้ไม่สามารถอ่านค่าความด้านทานที่แน่นอนได้

5.1.3 จากการทดสอบหาค่าความสัมพันธ์ของแรงดันไฟฟ้ากระแสสลับและปริมาณไฟฟ้าที่วัดได้กับเบอร์เซ็นต์การเจือปนของสิ่งสกปรก พบร่วมปริมาณการเจือปนของผงคาร์บอน ส่งผลให้เกิดการเปลี่ยนแปลงของความสัมพันธ์ระหว่างแรงดันไฟฟ้ากระแสสลับ และปริมาณของกระแสไฟฟ้าที่วัดได้ซึ่งเมื่อนำมาพล็อตเป็นกราฟ (ภาพที่ 4-6) จะเห็นความแตกต่างอย่างชัดเจนเมื่อมีการปั้นเบื้องของผงคาร์บอนดังแต่ 0.75 เปอร์เซ็นต์ ส่วนทั้งการเจือปนของน้ำและผงโลหะไม่สามารถทำการตรวจวัดการเปลี่ยนแปลงได้ด้วยวิธีนี้

5.1.4 จากการทดสอบหาค่ามุมเฟสที่เปลี่ยนไป (phase shift) ของการเจือปนด้วยสิ่งสกปรกพบว่ามีเพียงผงคาร์บอนเท่านั้นที่ส่งผลต่อการเปลี่ยนแปลงของค่ามุมเฟสที่เปลี่ยนแปลงไปอย่างชัดเจน (มุมเฟสเปลี่ยนไป 23.4 องศา) เมื่อมีการปั้นเบื้องของผงคาร์บอนดังแต่ 0.1 เปอร์เซ็นต์ โดยน้ำหนัก ในขณะที่การเจือปนของน้ำในระดับ 0-0.15% ไม่ส่งผลต่อการเปลี่ยนแปลงของค่ามุมเฟสที่เปลี่ยนไปที่วัดได้ เนื่องจากน้ำไม่มีการเปลี่ยนแปลงพฤติกรรมของความด้านทานใน

สนามไฟฟ้ากระแสสลับ ส่วนของโลหะเกิดการเรียงตัวในสนามไฟฟ้า ทำให้เกิดการลัดวงจรระหว่างอิเลคโทรดที่ใช้วัด ทำให้มีความสามารถวัดค่าที่แน่นอนได้

5.2 ข้อเสนอแนะ

5.2.1 ทำการทดลองวัดการเปลี่ยนแปลงของค่าทางไฟฟ้าของการเจือปนด้วยผงโลหะในลักษณะของการทดสอบที่เหล็กเลี่ยงพฤติกรรมของการเรียงตัวในสนามไฟฟ้า ด้วยการลดแรงดันไฟฟ้าที่จ่ายเข้าไปในระบบหรือเพิ่มระยะห่างระหว่างอิเลคโทรดทั้ง 2

5.2.2 ทำการทดสอบดูความเปลี่ยนแปลงของกระแสไฟฟ้าที่เกิดจากการเปลี่ยนแปลงของของค่าความจุไฟฟ้าของน้ำมันที่เจือปนด้วยผงคาร์บอน โดยการลดแรงดันไฟฟ้ากระแสสลับที่จ่ายเข้าระบบ และใช้ค่าความถี่ของแรงดันไฟฟ้าที่แตกต่างกัน

5.2.3 ทำการทดสอบหาค่ามุมเฟสที่เปลี่ยนแปลงไปสำหรับผงคาร์บอนในลักษณะจำลองการปั่นป่วนให้เกิดจริงในระหว่างการทดสอบ เพื่อนำไปสู่การติดตามสภาพในการใช้งานจริง

5.2.4 ทำการวิเคราะห์ค่ามุมเฟสที่เปลี่ยนแปลงไปเทียบกับความถี่ของรูปคลื่น (frequency domain) เพื่อติดตามการปนเปื้อนของผงคาร์บอน

5.2.5 ทำการวิเคราะห์น้ำมันหล่อลื่นที่ถูกใช้งานแล้วจริง เพื่อเปรียบเทียบผลของการเปลี่ยนแปลงที่เกิดขึ้น

บรรณานุกรม

ภาษาไทย

สุรพล ราชภูรน์นุย. การวิเคราะห์สารหล่อลื่นใช้แล้วเพื่อการบำรุงรักษาเชิงป้องกัน.

กรุงเทพมหานคร : ศูนย์ผลิตตำราเรียน สถาบันเทคโนโลยีพระจอมเกล้าพระนคร
เหนือ, 2549.

สำรวຍ สังข์สะอาด. วิศวกรรมไฟฟ้าแรงสูง. กรุงเทพมหานคร : จุฬาลงกรณ์มหาวิทยาลัย,
2528.

ภาษาอังกฤษ

Simon S Wang & Yingjie Lin. "A new technique for detecting antifreeze in engine oil
during early stage of leakage", Sensors and Actuators B. 96 (2003) : 157-164

Warren Baxter Nicholson, Yingjie Lin, Larry M. Oberdier & Joseph Piere Heremans.
U.S. Patent No.: 6,867,603 B2** Mar.15, 2005.

Clifford A. Meregerle **U.S. Patent No.: 5,089,780 ** Feb.18, 1992.

Charles J. Koehler, Richard W. Hirthe & Martin A. Seitz

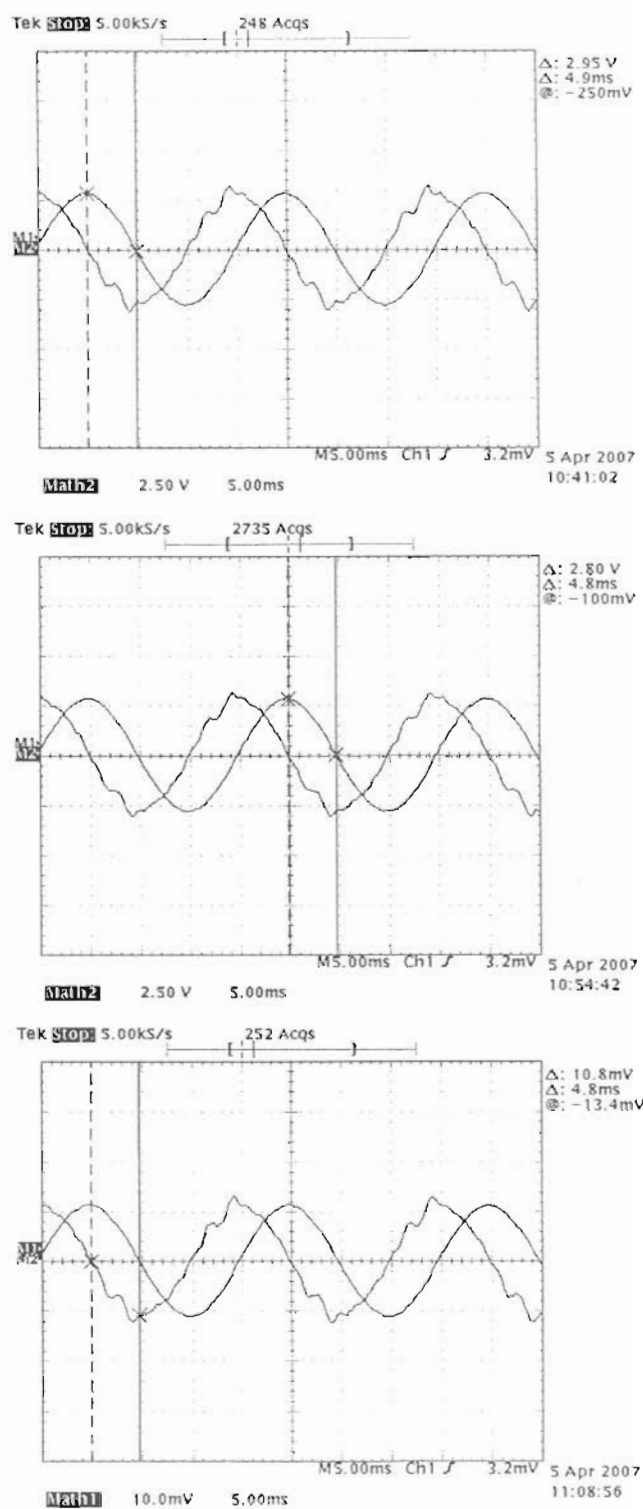
**U.S. Patent No.: 6,839,620 B1 ** Jan.4, 2005

A.D.H. Clague, J.B. Donnet, T.K. Wang & J.C.M. Peng. "A comparision of diesel engine
soot with carbon black", Carbon 37. (1999) : 1553–1565

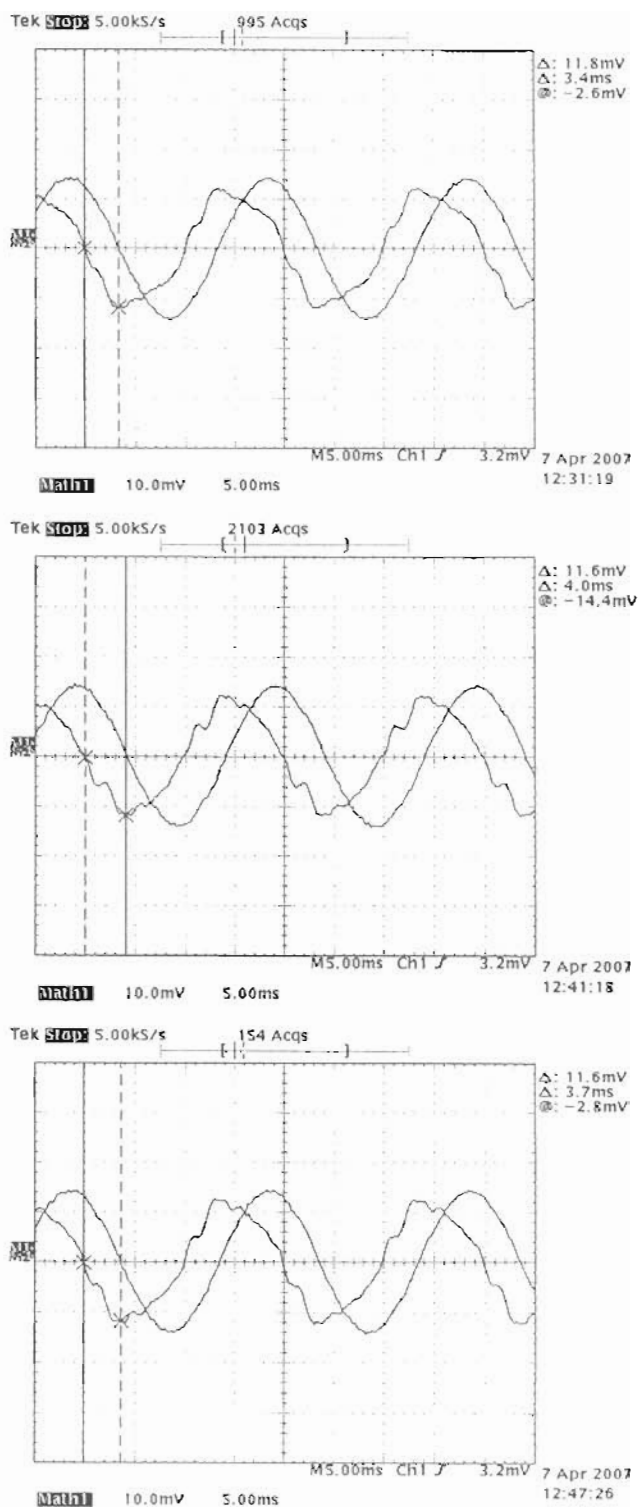
R. Bartnikas. Engineering dielectrics volume III Electrical insulating liquids.
Philadelphia, PA. : ASTM, 1994.

ภาคผนวก ก

ภาพของมุมเฟสที่เปลี่ยนแปลงไปที่แสดงบนจอสีล็อสโคป



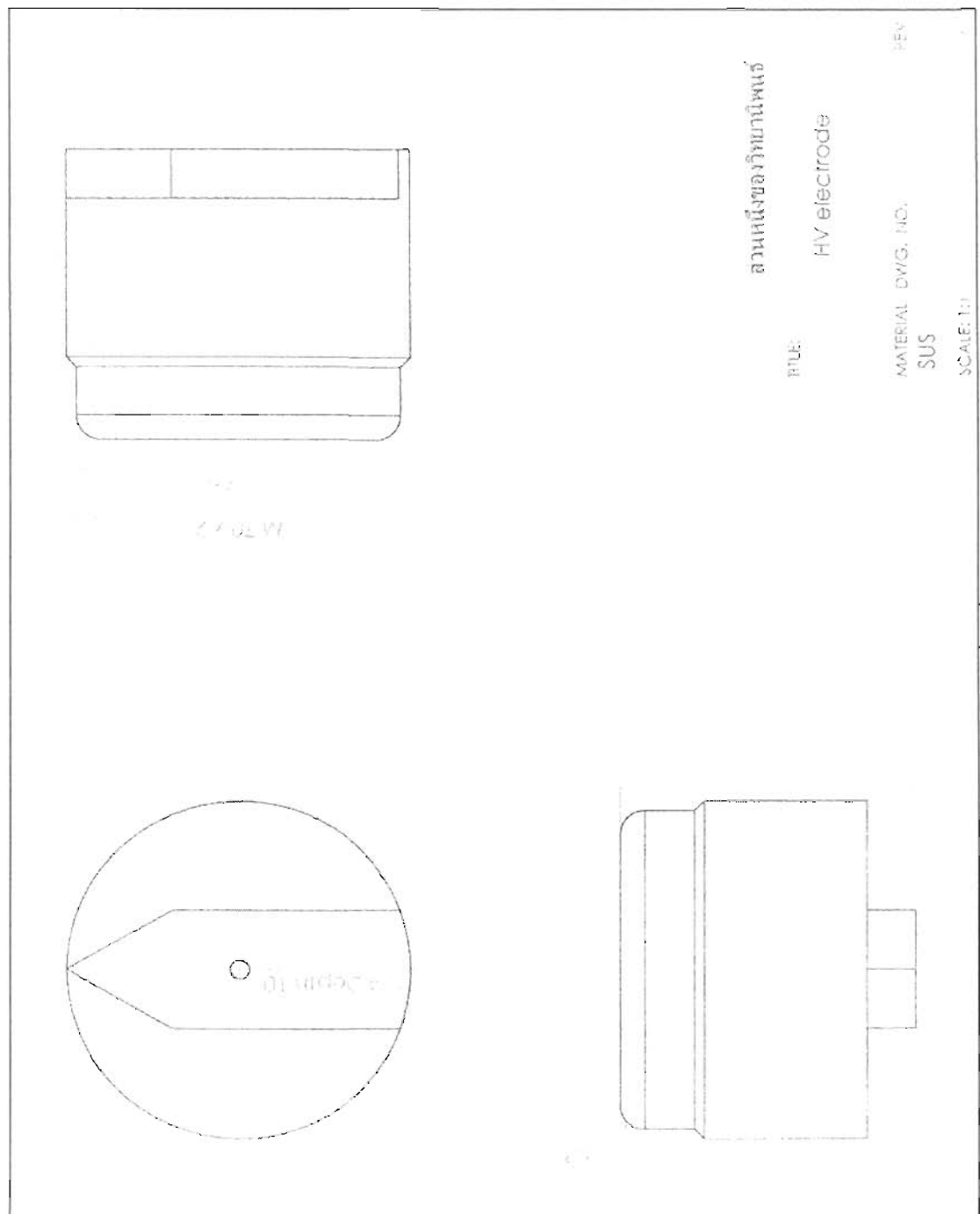
ภาพที่ ก-1 ภาพของมมเฟสที่เปลี่ยนแปลงไปที่แสดงบนอสซิลโลสโคปของน้ำมันใหม่



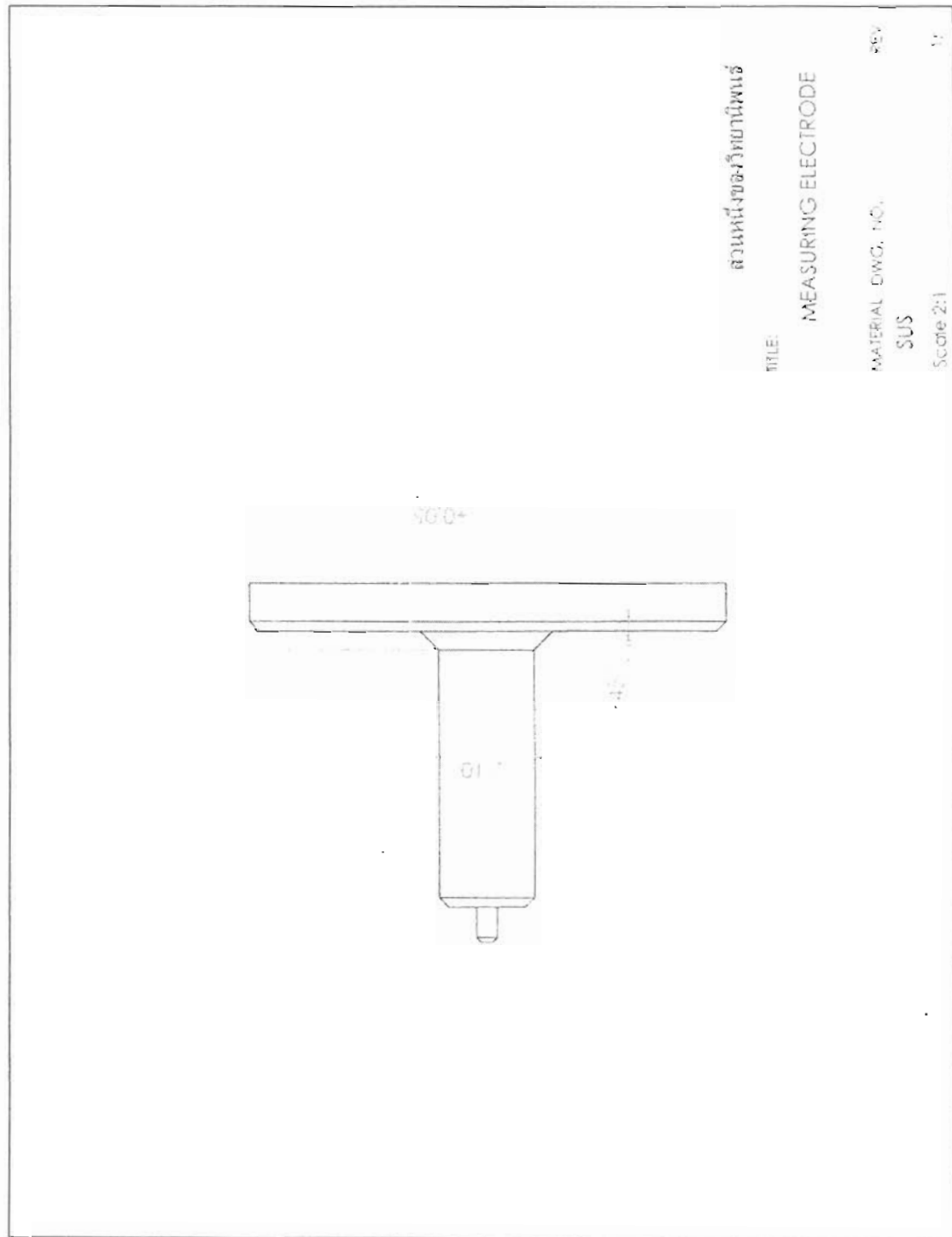
ภาพที่ ก-2 ภาพของมุมเฟสที่เปลี่ยนแปลงไปที่แสดงบนอสซิลโลสโคปของน้ำมันปนเปื้อนด้วย พงคาร์บอนขนาดเล็กกว่า 63 ไมครอน ด้วยอัตราส่วน 0.1 เปอร์เซ็นต์โดยน้ำหนัก

ภาคผนวก ข

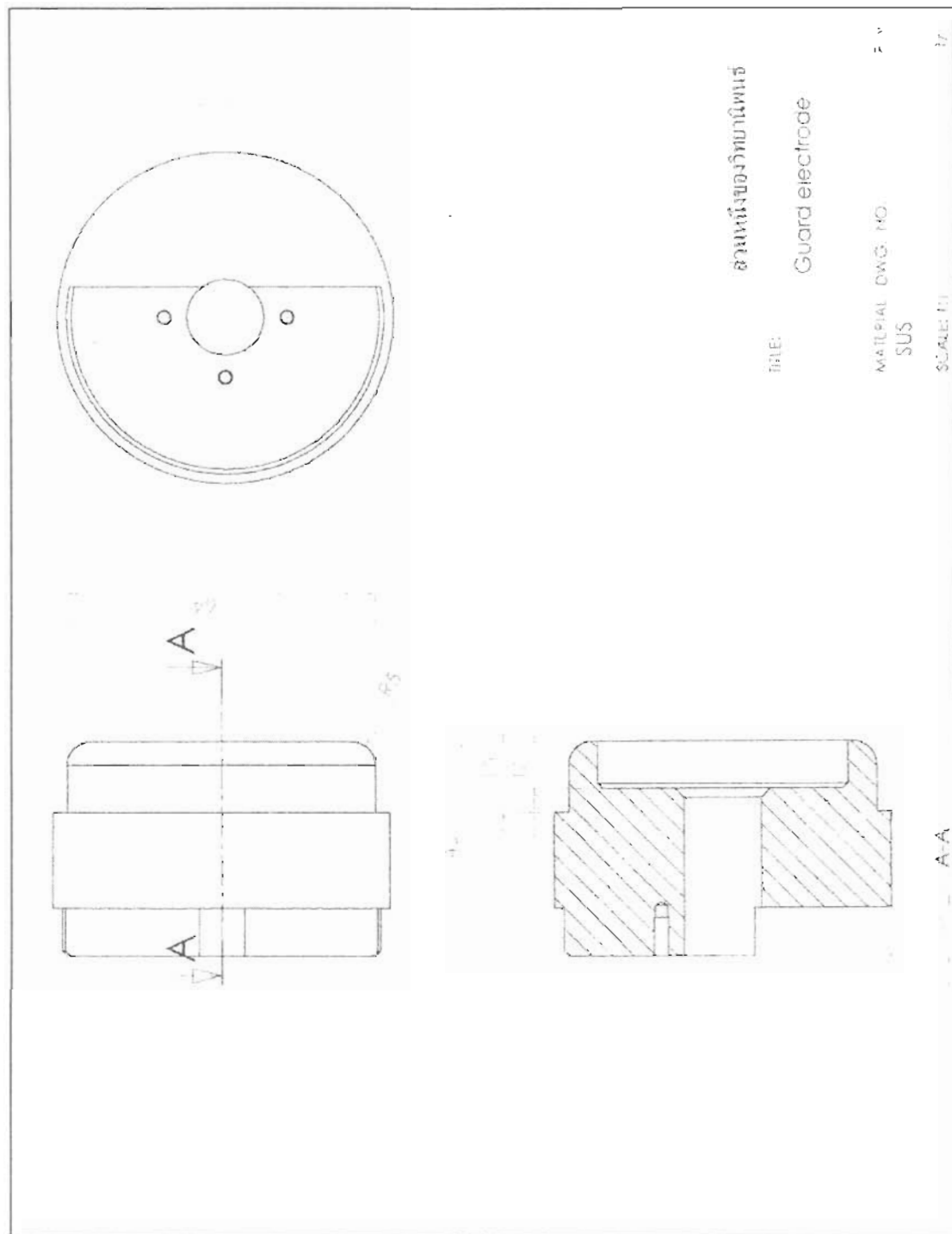
แบบของอิเลคโทรดชนิด 3 อิเลคโทรดที่จัดสร้าง



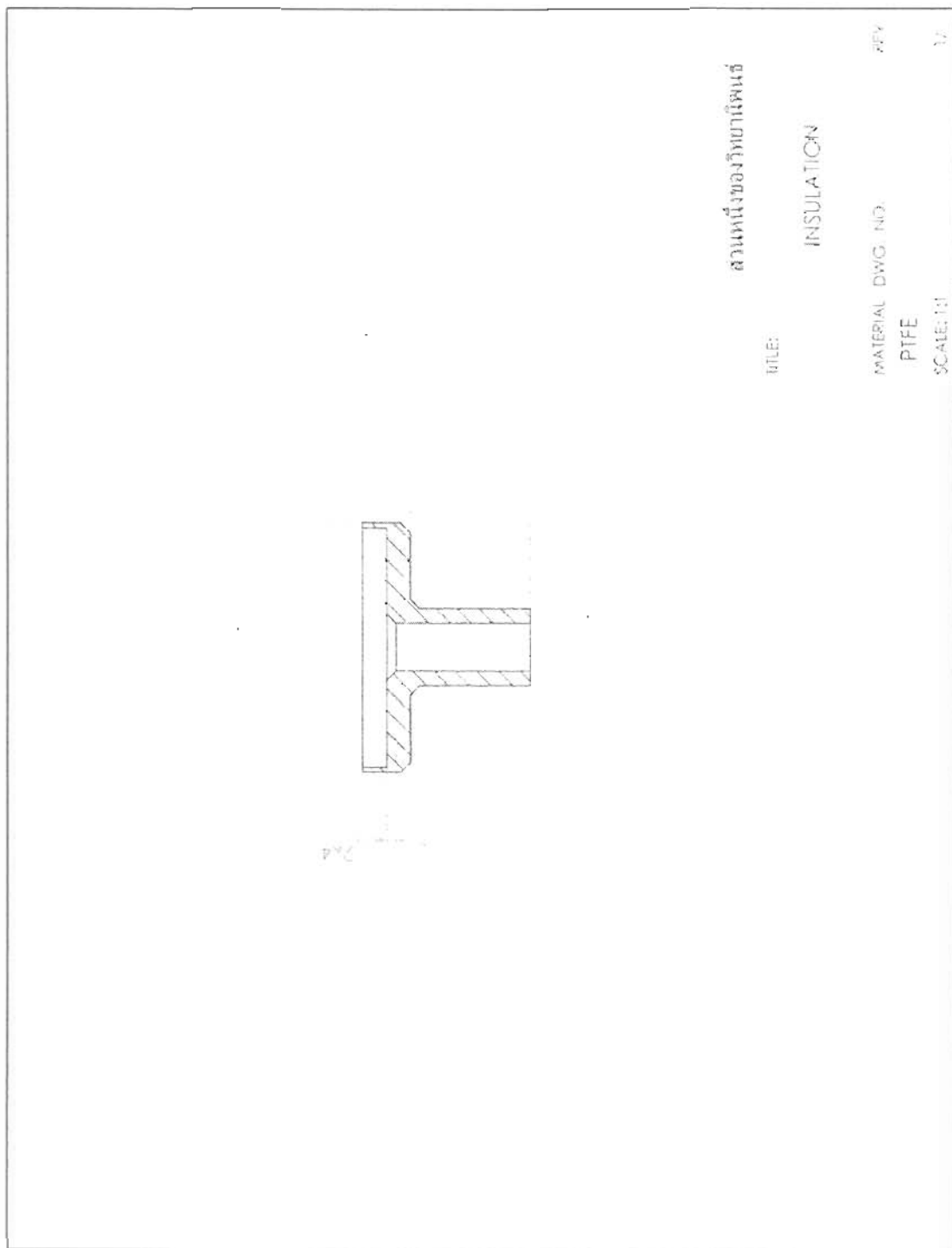
ภาพที่ ข-1 แบบในการจัดสร้างของอิเลคโทรดแรงสูง



ภาพที่ ข-2 แบบในการจัดสร้างของอิเลคโทรดวัด



ภาพที่ ข-3 แบบในการจัดสร้างของวงแหวนการ์ด



ภาพที่ ข-4 แบบในการจัดสร้างของฉนวนกัน

ประวัติผู้วิจัย

ชื่อ : นายฉัตรชัย บูรณะจิตปกรณ์
 ชื่อวิทยานิพนธ์ : การวิเคราะห์ค่าความด้านทางไฟฟ้าของน้ำมันหล่อลื่น
 เพื่อดัดตามสภาพน้ำมันหล่อลื่นที่ใช้แล้ว
 สาขาวิชา : วิศวกรรมการผลิต

ประวัติ

เกิดเมื่อวันที่ 17 ตุลาคม พุทธศักราช 2520 ที่โรงพยาบาลพระนครศรีอยุธยา เป็นบุตรคนที่ 3 ของ นายเจริญ และนางหลียง บูรณะจิตปกรณ์

ประวัติการศึกษา

สำเร็จการศึกษาระดับปริญญาตรี วิศวกรรมศาสตรบัณฑิต สาขา วิศวกรรมการผลิต สถาบันเทคโนโลยีพระจอมเกล้าพระนครเหนือ ปีการศึกษา 2544

ประวัติการทำงาน

พ.ศ.2544 ทำงานในตำแหน่ง วิศวกรโครงการ ที่บริษัท ซัมมิทอโตชีท จำกัด
 พ.ศ.2545 ทำงานในตำแหน่ง วิศวกรการผลิต ที่บริษัท มุราคามิแอมพาส จำกัด

สถานที่ติดต่อ

220/124 อาคารชูพรีเรียร์2 เมืองทองธานี ตำบลบางพูด อำเภอปากเกร็ด จังหวัด นนทบุรี